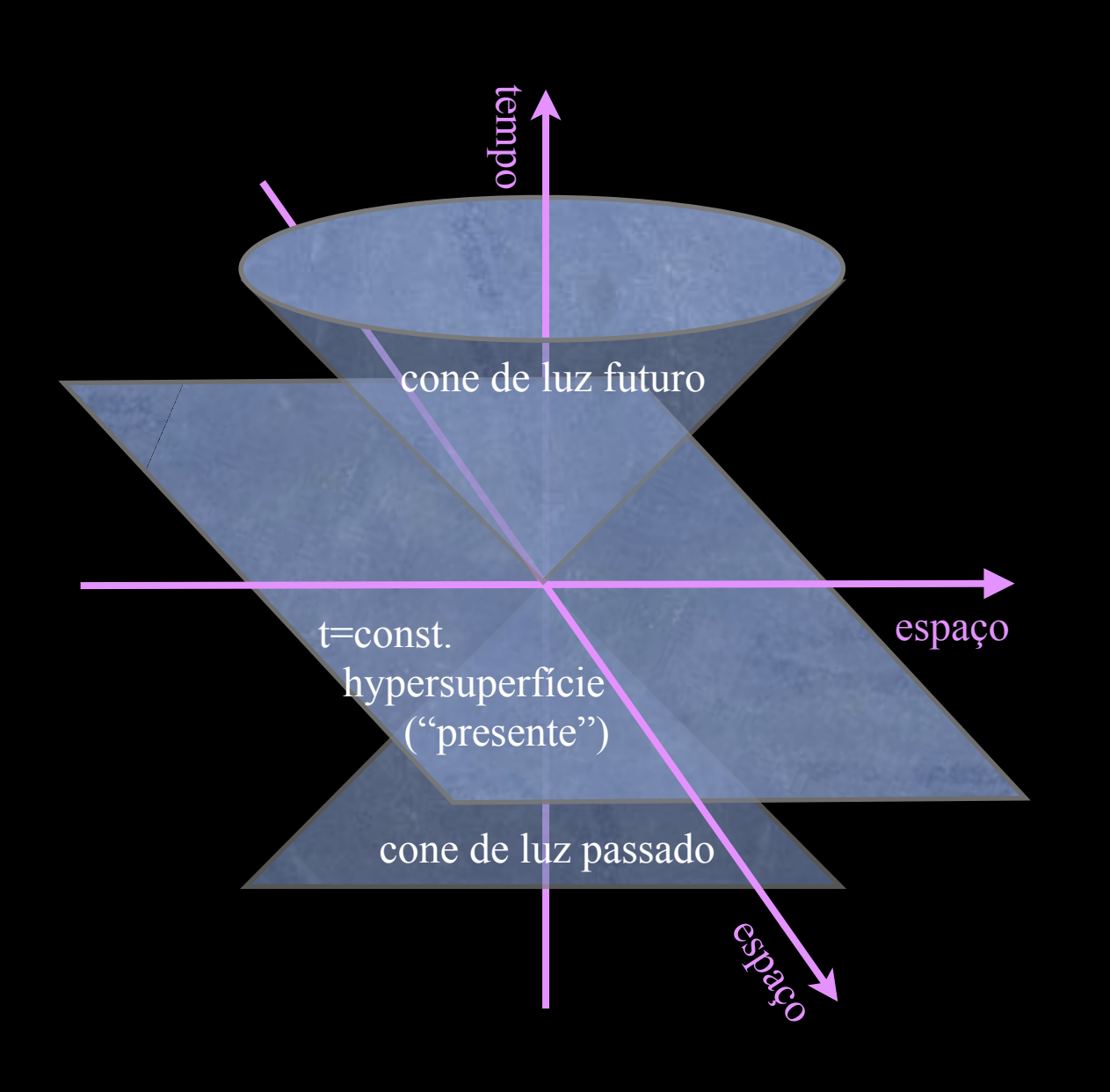


- Relatividade Restrita (revisão rápida)
- O Princípio da Equivalência
- Coordenadas generalizadas e a métrica
- A Relatividade Geral de Einstein
- Cosmologia relativística
- Leituras: Ryden, Cap. 3

### Relatividade <u>especial</u>: o objeto fundamental é o <u>cone de luz</u>



### Cone de luz:

$$ds^2 = -c^2 dt^2 + d\vec{x}^2 \Rightarrow 0$$

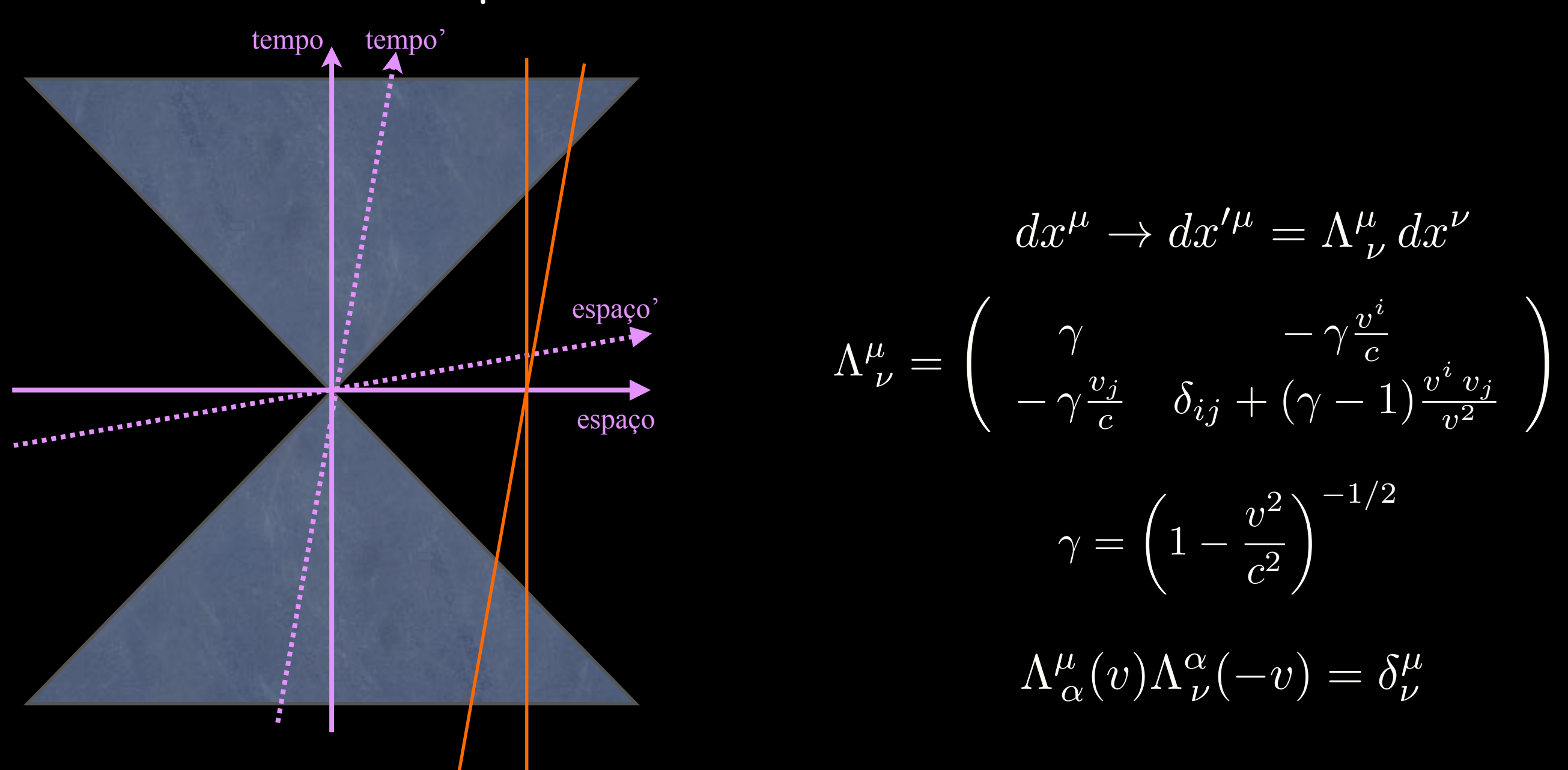
### Luz:

$$|\vec{v}| = \left| \frac{d\vec{x}}{dt} \right| = c$$

### Bibliografia adicional:

- C. Boyer, "A History of Mathematics"
- H. Lorentz, A. Einstein, H. Minkowski & H. Weyl, "The Principle of Relativity" ("O Princípio da Relatividade")

### Relatividade especial: invariância do cone de luz sob "boosts"



Linha de mundo de observador com dx/dt = 0, dx'/dt' = -v

Linha de mundo de observador com dx/dt = +v, dx'/dt' = 0

O **princípio de equivalência** de Einstein (1915!) permite tratar referenciais acelerados → covariância sob transf. de coordenadas <u>generalizadas</u>



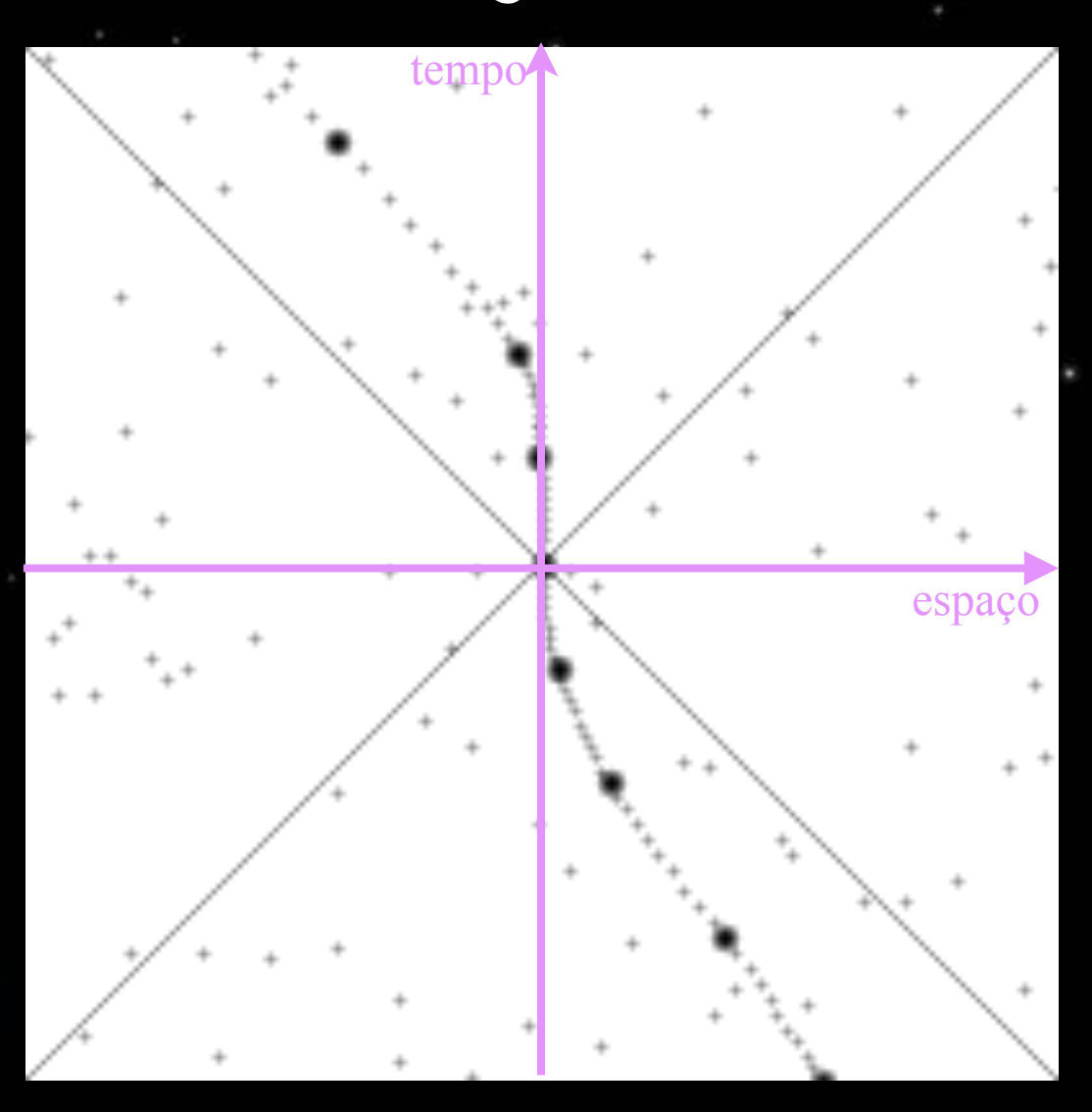






Observador acelerado (queda livre)

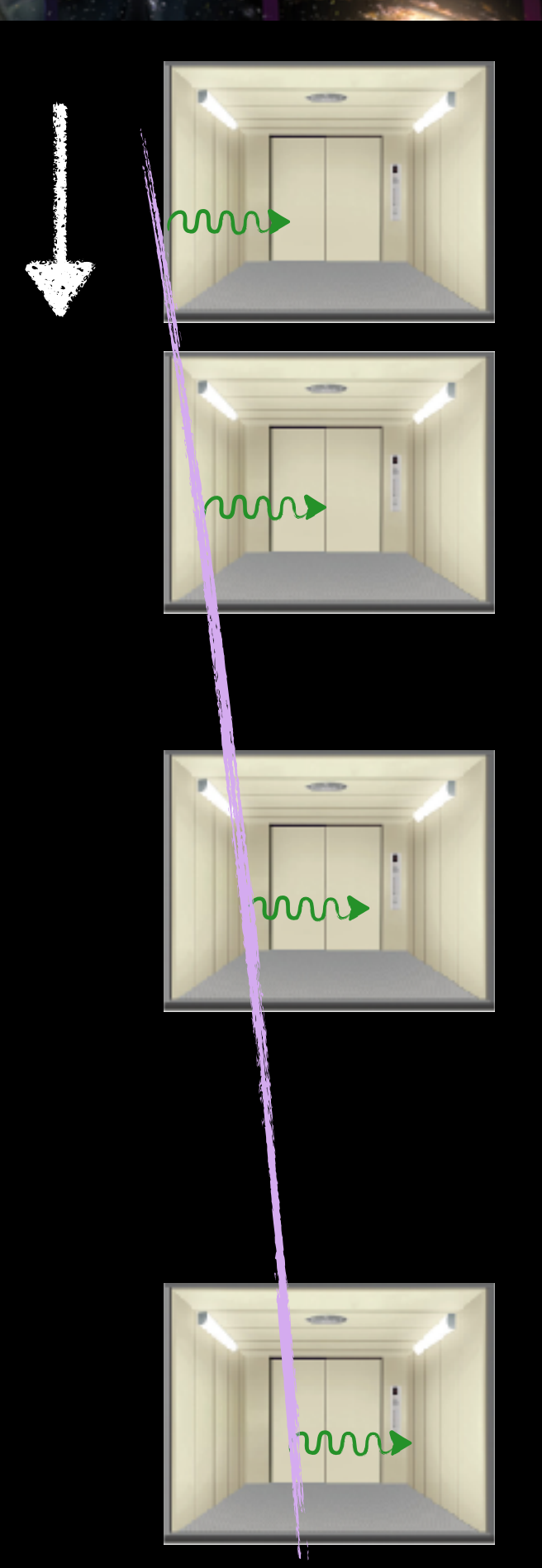
observador inercial

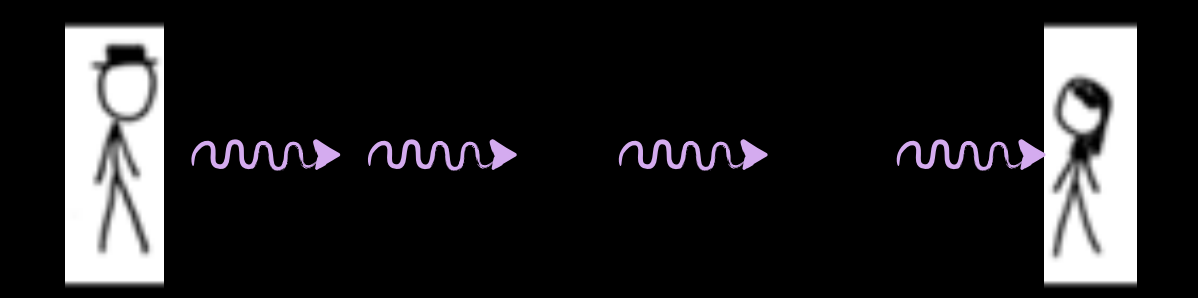


$$ds^{2} = -c^{2} dt^{2} + d\vec{x}^{2}$$
$$\Rightarrow ds^{2} = g_{\mu\nu} dx^{\mu} dx^{\nu}$$

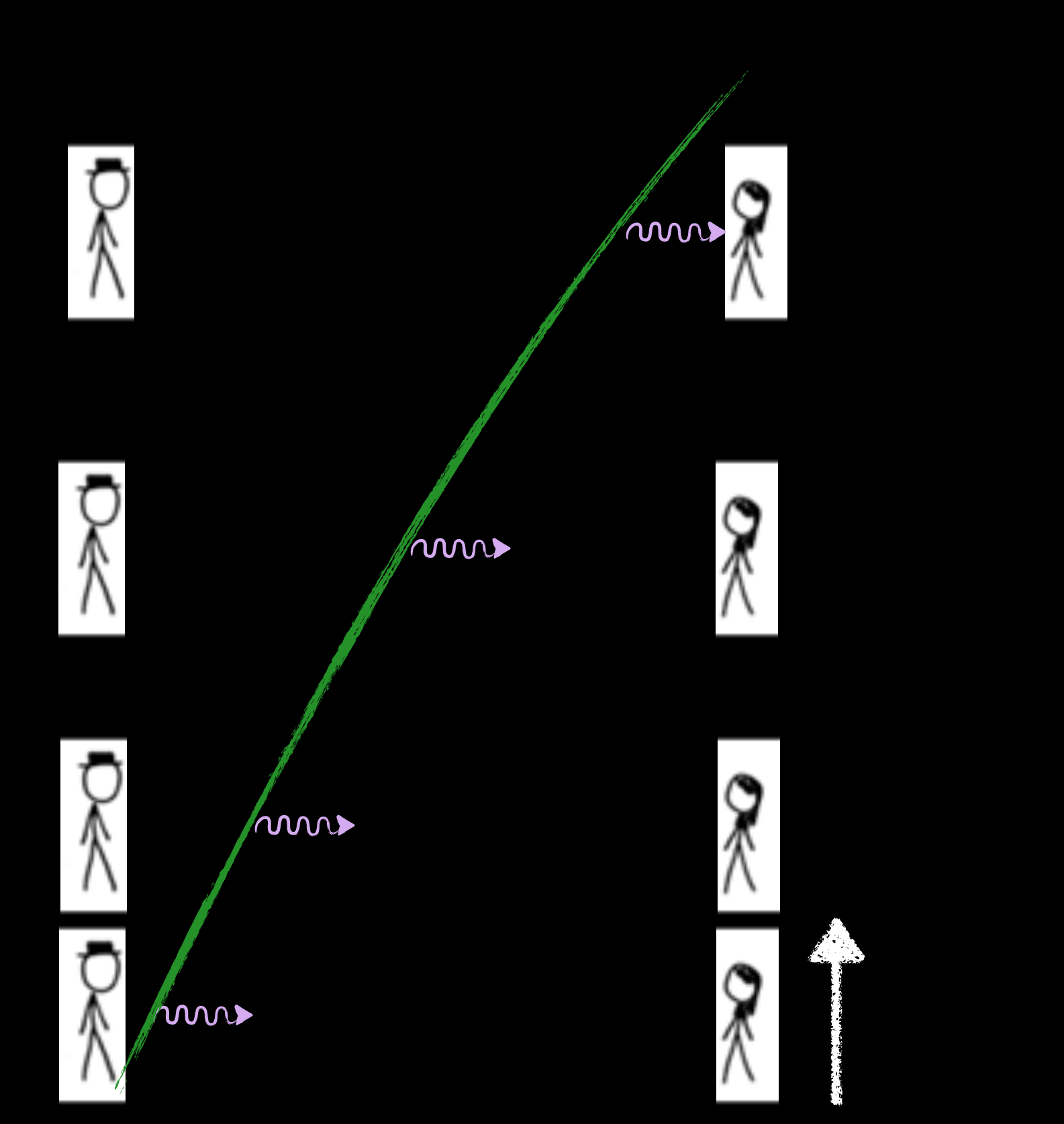
métrica: geometria do espaço-tempo

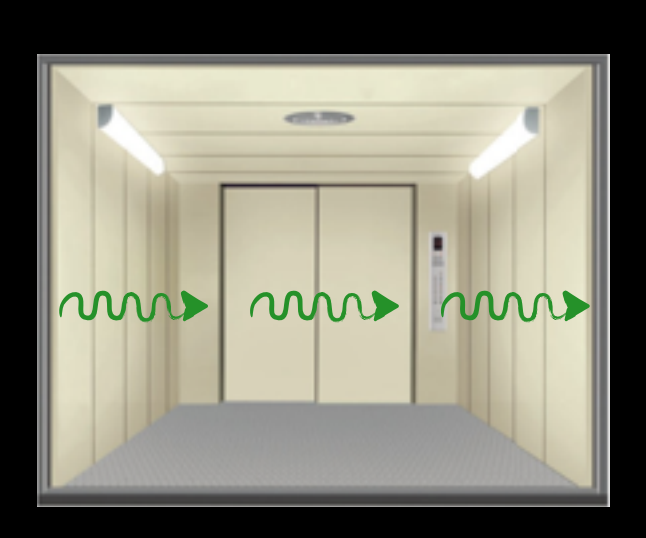
O elevador de Einstein visto de um observador parado na Terra:





O cara parado na Terra, visto desde o elevador de Einstein:





### Mas... e agora? E o cone de luz?

$$ds^2 = -c^2 dt^2 + d\vec{x}^2 \Rightarrow 0$$

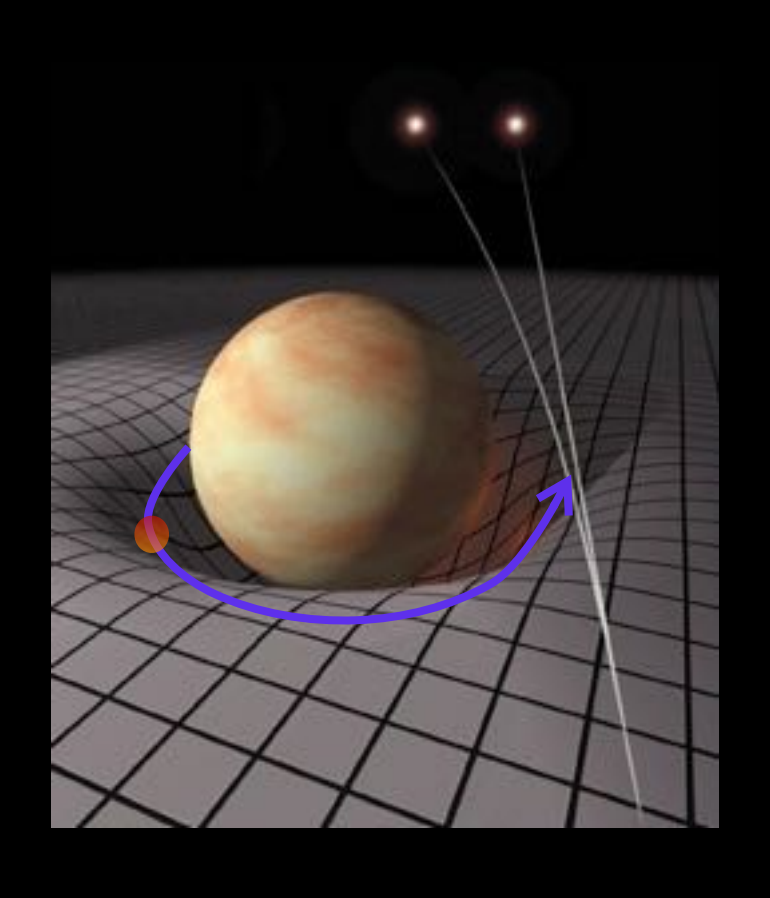
Pelo **Princípio de Fermat**, a luz tem que percorrer o caminho que **minimiza o tempo** de viagem.

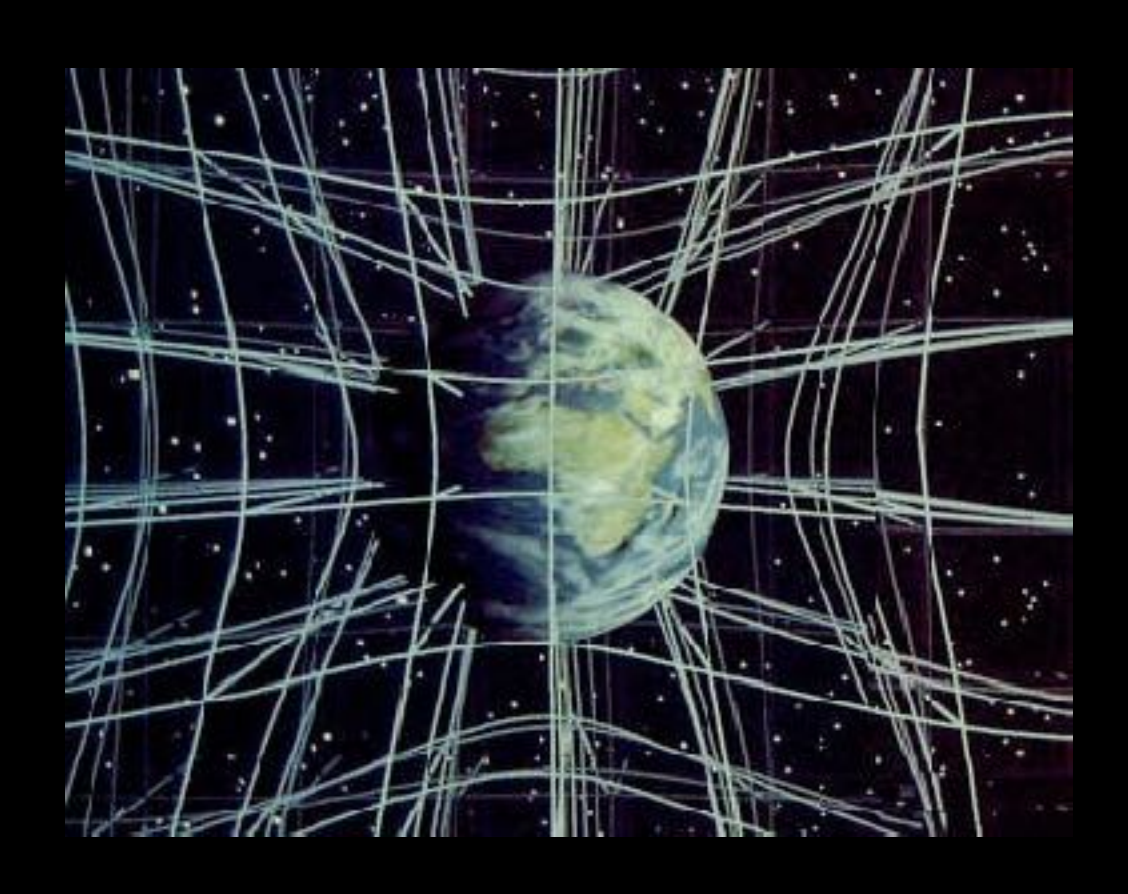
Mas como o menor tempo de viagem da luz pode ser uma curva, e não uma reta?

A resposta é que precisamos pensar em **espaços curvos** - ou melhor, **espaços-tempo curvos**!

Nas teorias "covariantes" da gravidade (p. ex., a Relatividade Geral), a gravidade é uma manifestação da curvatura do espaço-tempo

Nessas teorias, a **métrica** do espaço-tempo (i.e., sua **geometria**) tem dois papéis: ela **determina** a trajetória da matéria... ...e é **curvada** pela matéria

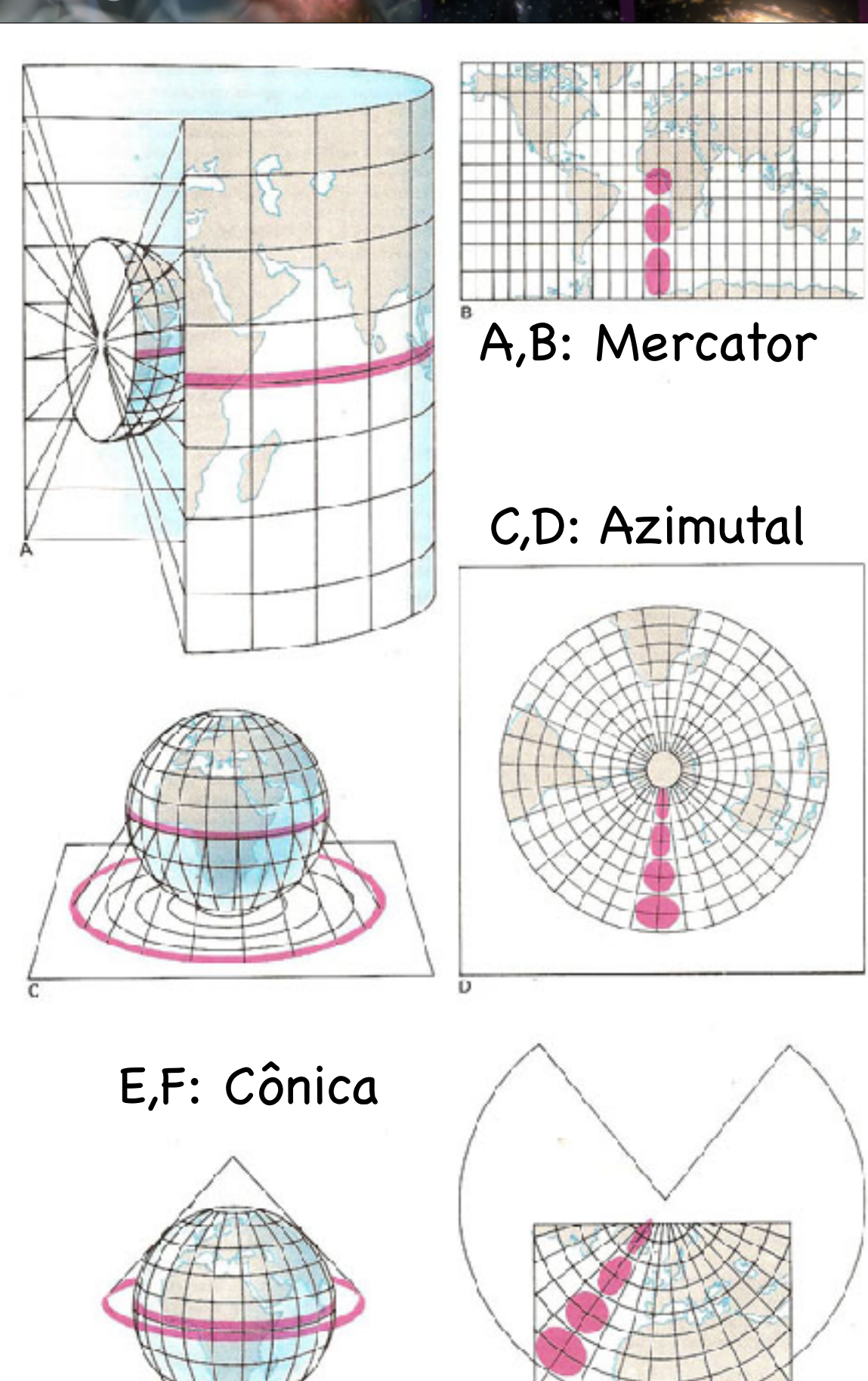




- O que significa uma "geometria" do espaço-tempo?
- O que determina essa geometria?
- Como podemos fazer medidas que testam essa teoria?

Um exercício simples: a esfera e suas projeções





### Qual a rota mais rápida de São Paulo a Paris?

E de São Paulo a Tokyo?...



Esta é a rota mais rápida de São Paulo a Tokyo!

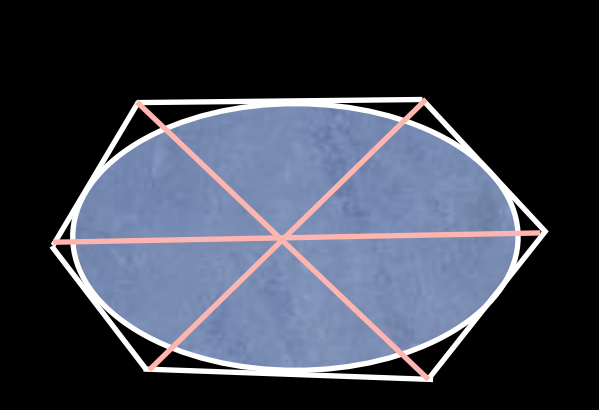


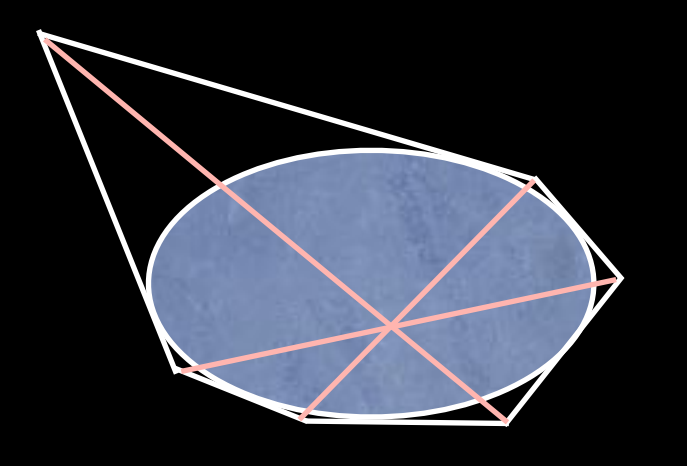
### Preâmbulo: A pré-história da Geometria Diferencial

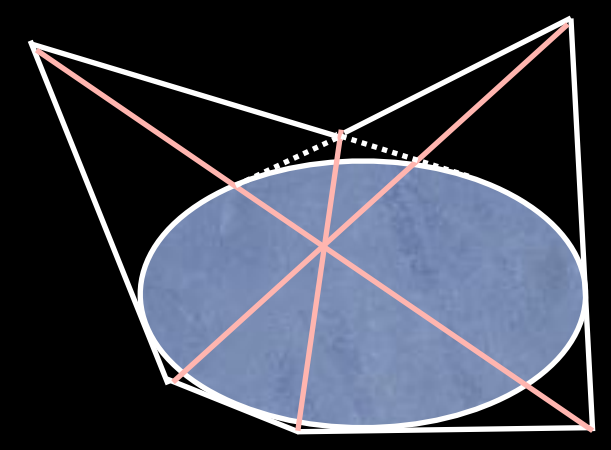
Após Newton, a Física se concentrou na Mecânica, Óptica, Termodinâmica; os matemáticos ficaram obcecados com a Análise; a Geometria era considerada assunto de 2ª classe

O retorno da Geometria iniciou c. 1806, quando **Charles J. Brianchon** (que tinha 21 anos) e **Gaspard Monge** ("Comte de Péluse") provaram o seguinte teorema:

Os seis lados de um hexágono <u>circunscrevem</u> uma seção cônica SSE as três linhas comuns aos três pares de vértices opostos têm um ponto em comum

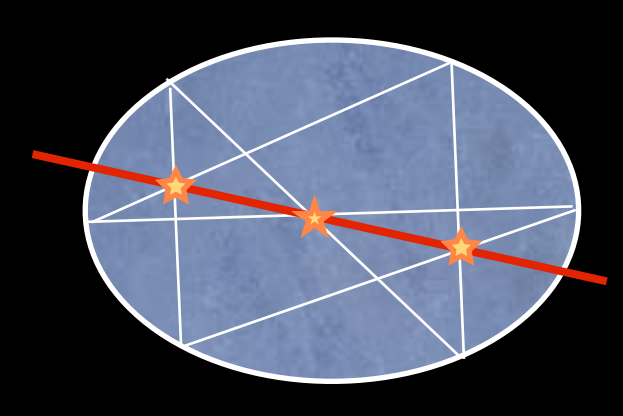






Isso foi logo reconhecido como o **dual** (ou "dual projetivo") do teorema de **Pascal** de 1639 (demonstrado quando Pascal tinha 16 anos!), que afirma o seguinte:

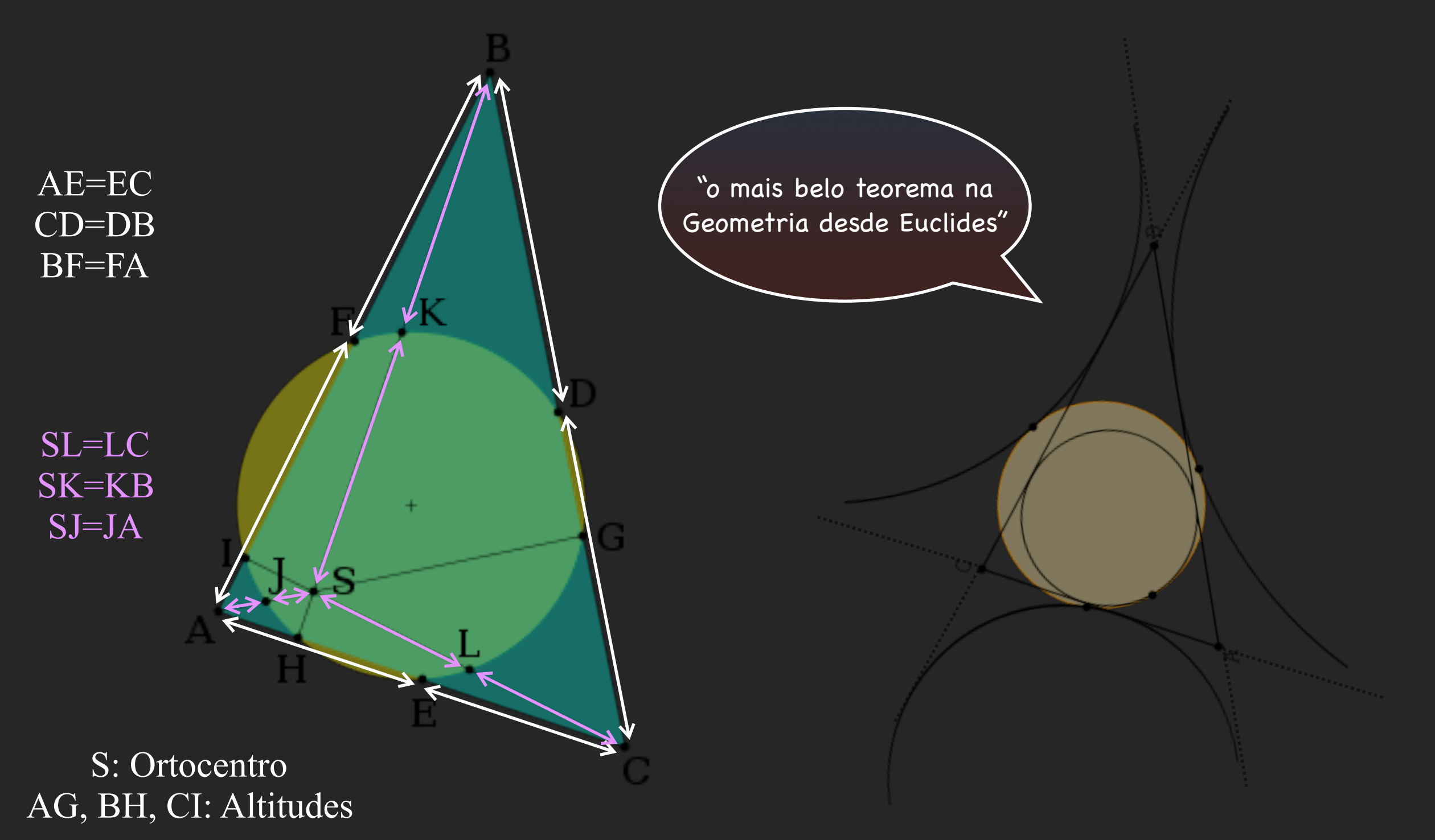
Se um hexágino <u>arbitrário</u> está <u>inscrito</u> numa seção cônica, então os três pares das continuações de lados opostos se encontram em pontos numa <u>linha reta</u>.



Já esses resultados inspiraram Karl Feuerbach, em 1822, a (re-)descobrir as propriedades do círculo de 9 pontos (Brianchon chegou antes...)



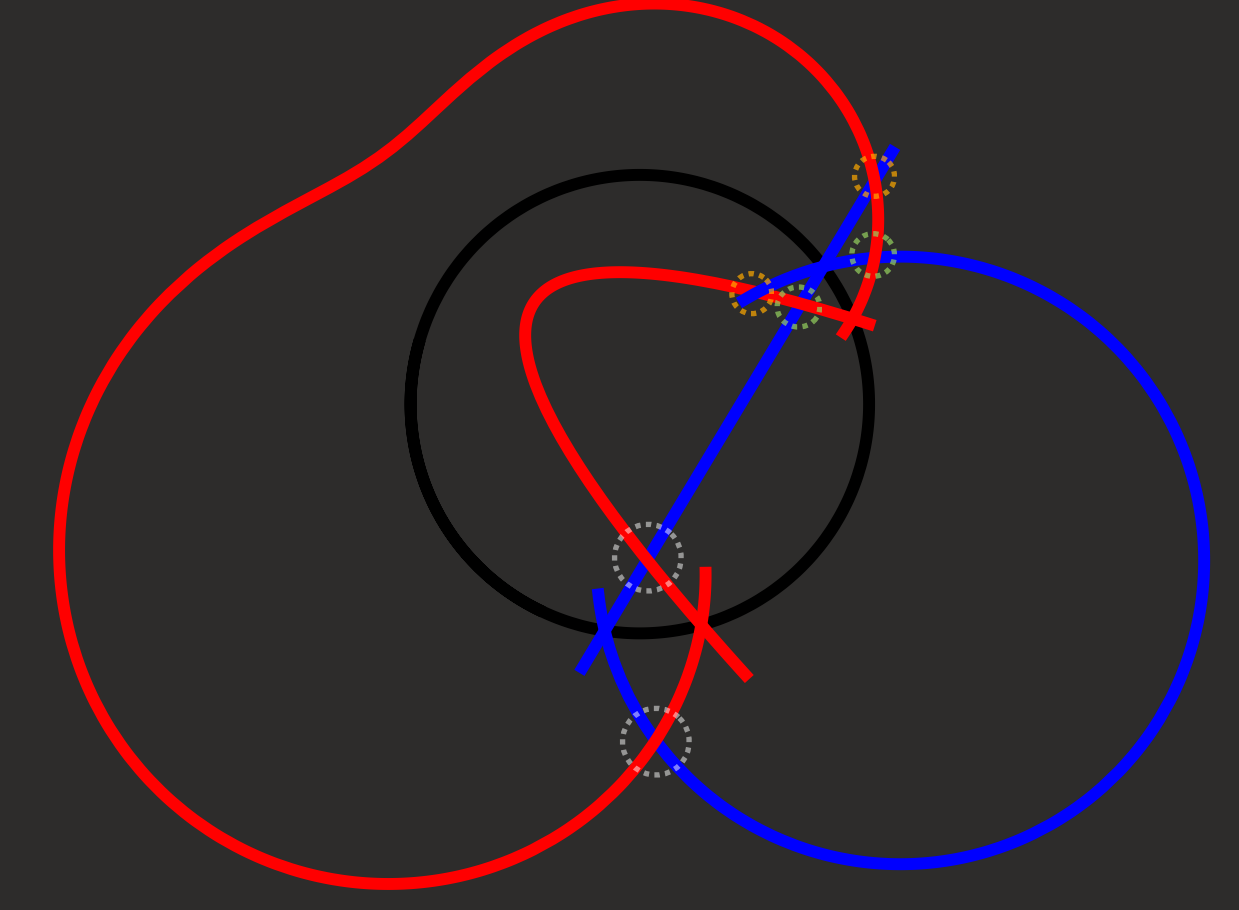
... e provar o Teorema de Feuerbach:



... que, por sua vez, levou **Jakob Steiner** (Steiner/Geometria :: Gauss/Análise) a descobrir, c. 1824, as leis da "geometria inversiva": a todo ponto dentro (fora) de um círculo, corresponde outro ponto, fora (dentro) dele, dado pela transformação (para raio unitário):



$$x' = \frac{x}{x^2 + y^2}$$
 ,  $y' = \frac{y}{x^2 + y^2}$ 



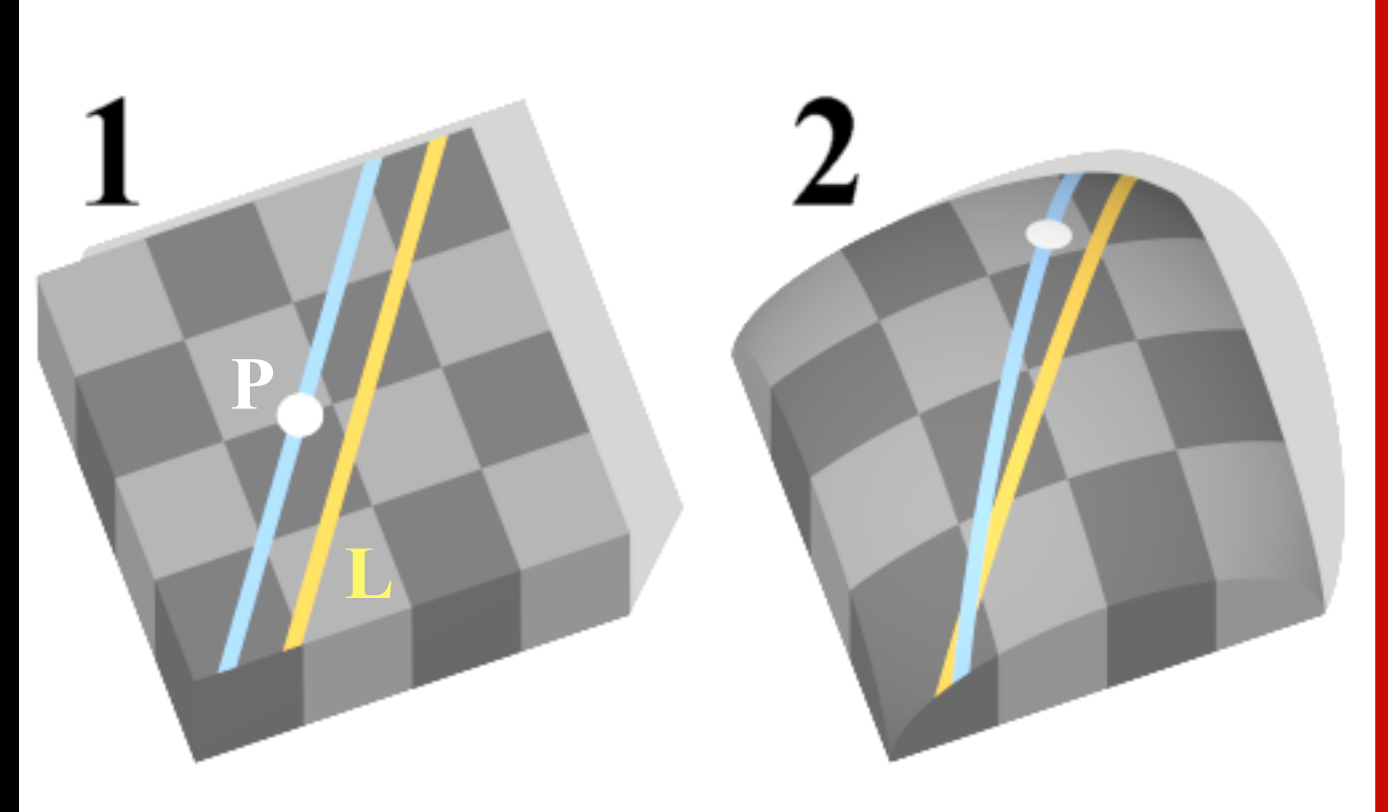
Essa é uma **transformação conforme** – que preserva os **ângulos** de linhas que cruzam. (Essas transformações foram depois re-descobertas por outros, incluindo **Lord Kelvin**, no contexto da Eletrostática – no **método das imagens**.)

O estudo de transformação de coordenadas e de dualidades (e.g., pontos/linhas) reacendeu o interesse na Geometria, que recobrou uma reputação respeitável

Em ~1826 **Nicolai Lobachevski** (e, independentemente, **C. F. Gauss** e **János Bolyai**) miraram num dos pilares da Geometria Euclideana: o "**postulado das paralelas**":

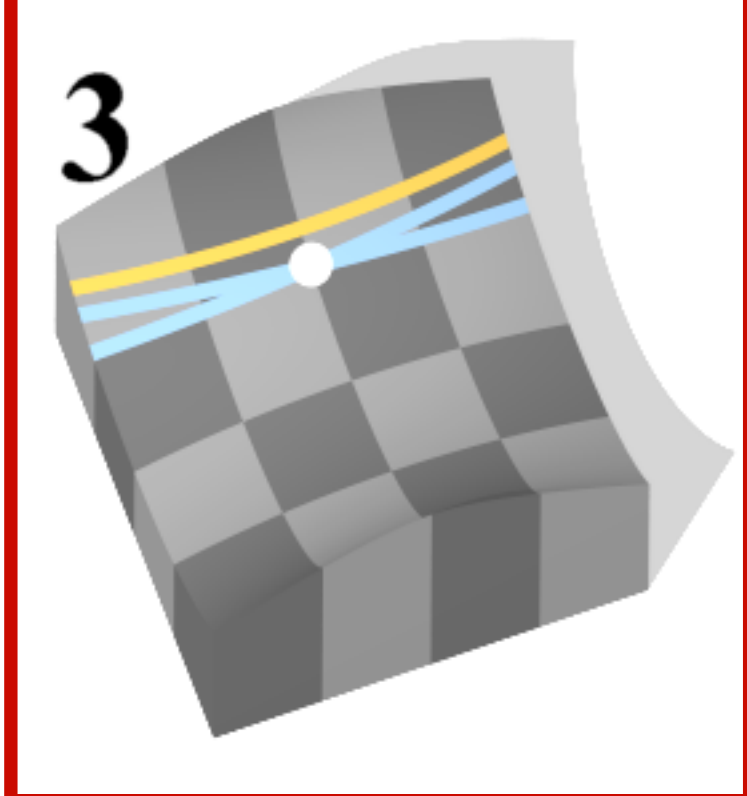
dada uma linha L e um ponto P, pode existir apenas uma linha que passa por P e não cruza L.

Lobachevski mostrou que isso era **falso**, construindo espaços "curvos", infinitos, em 2D, (que ele chamava "geometrias imaginárias") onde existem **muitas linhas por P:** 



1. Plano, infinito (Euclidean)

2. Curvo, <u>finito</u> (fechado/elíptico)



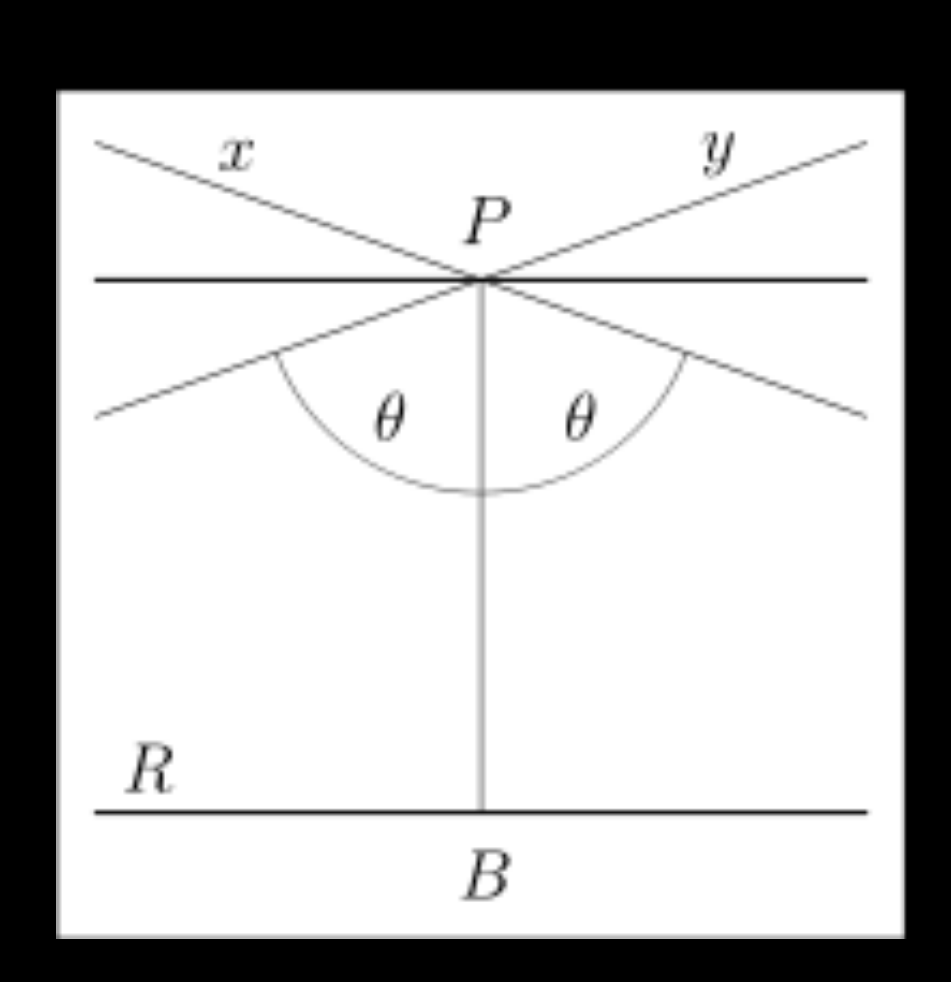
3. Curvo, infinito (aberto/hiperbólico)

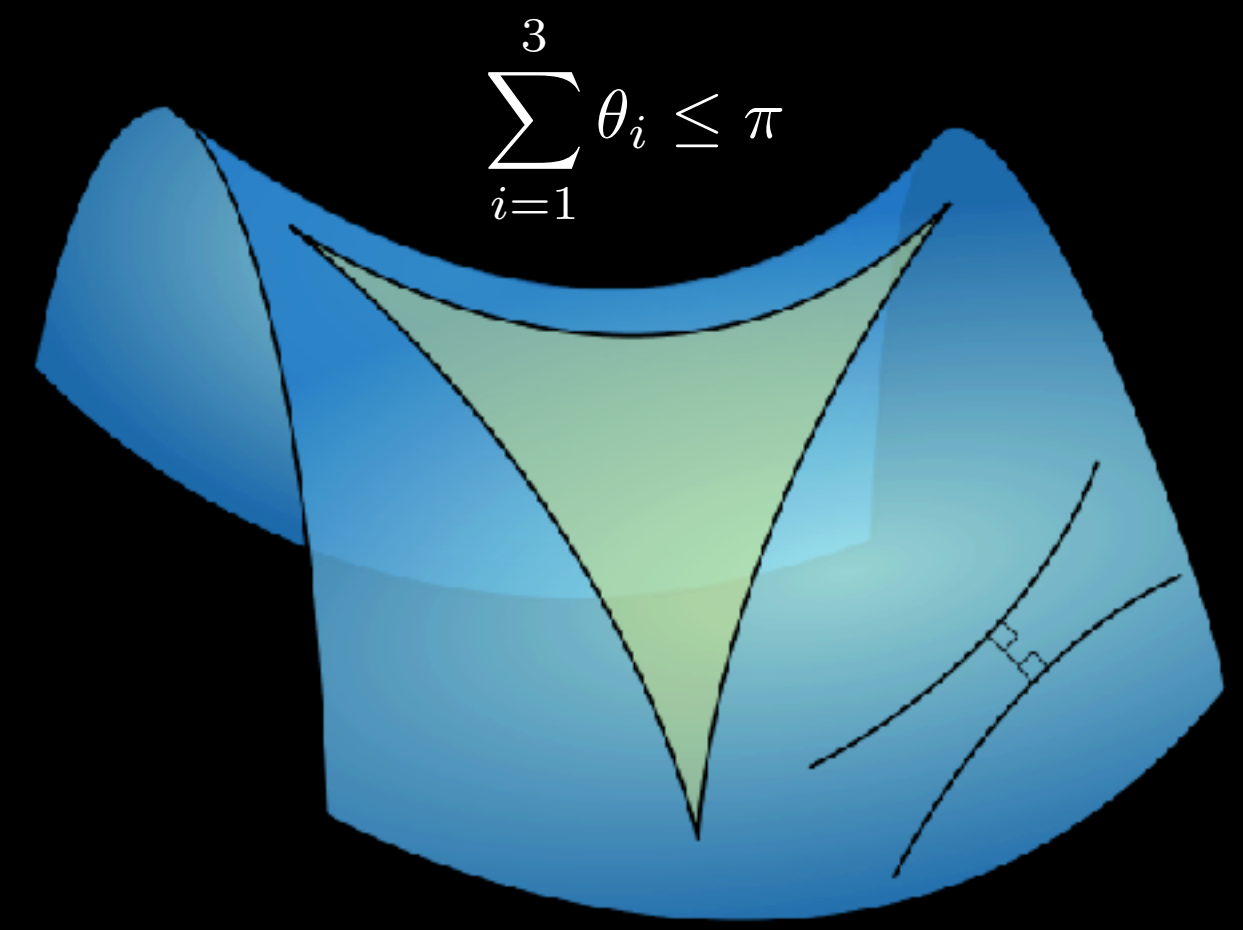
Espaço de Gauss-Lobachesvki -Bolyai

Geometria hiperbólica (ou Geometria de Bolyai-Lobachevsky)

Teorema ultraparalelo:

dadas duas linhas paralelas (hipérboles), há uma única linha perpendicular a elas.



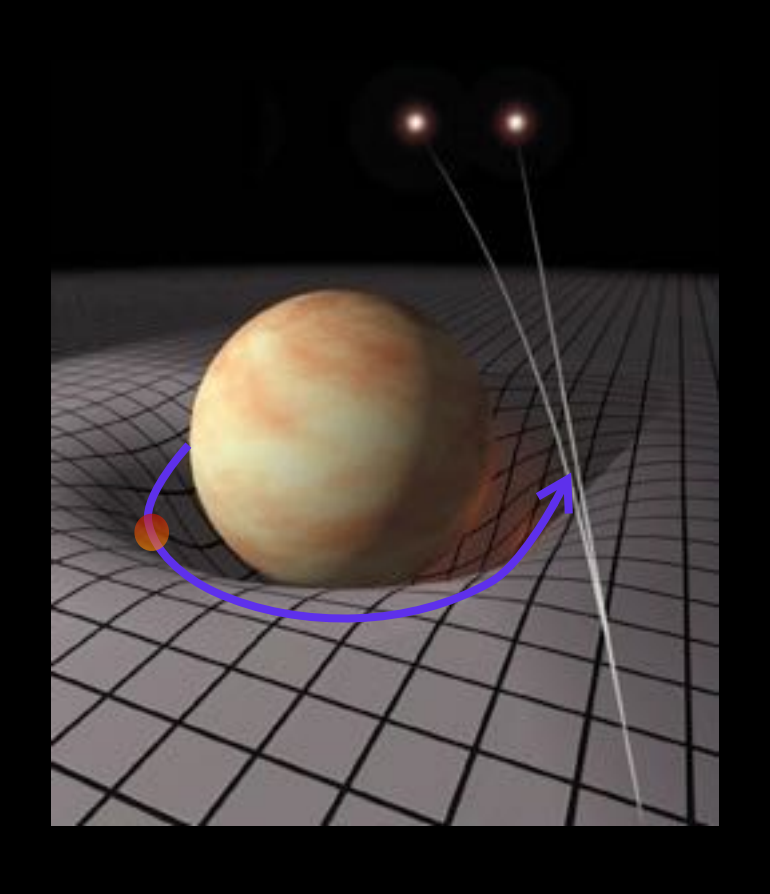


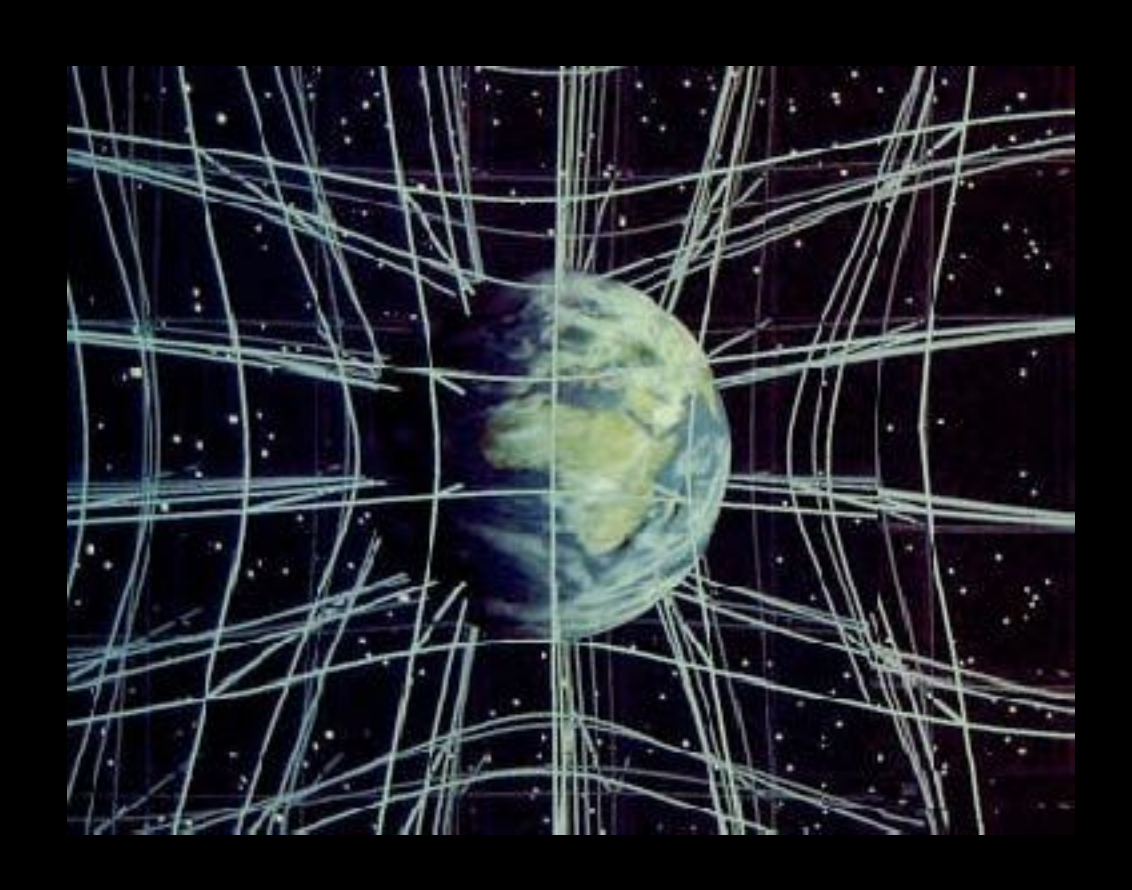




Nas teorias "covariantes" da gravidade (p. ex., a Relatividade Geral), a gravidade é uma manifestação da curvatura do espaço-tempo

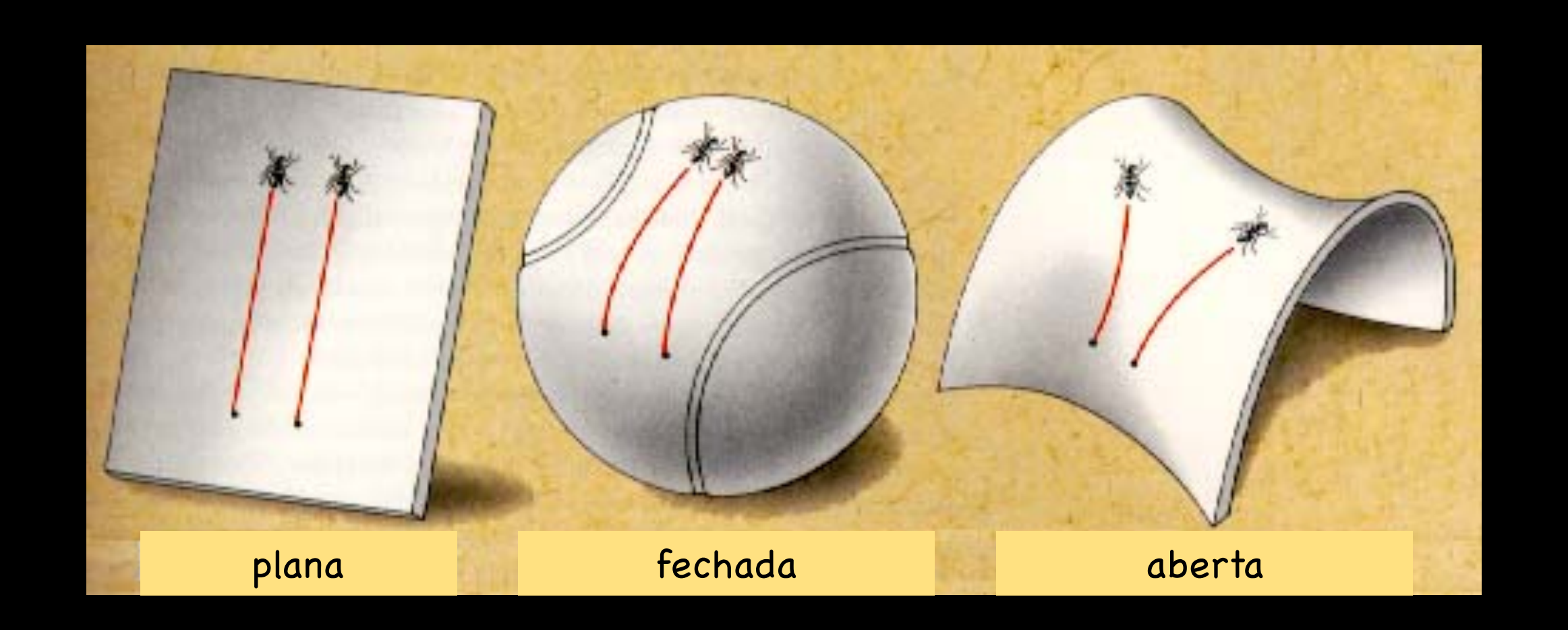
Nessas teorias, a **métrica** do espaço-tempo (i.e., sua **geometria**) tem dois papéis: ela **determina** a trajetória da matéria... ...e é **curvada** pela matéria



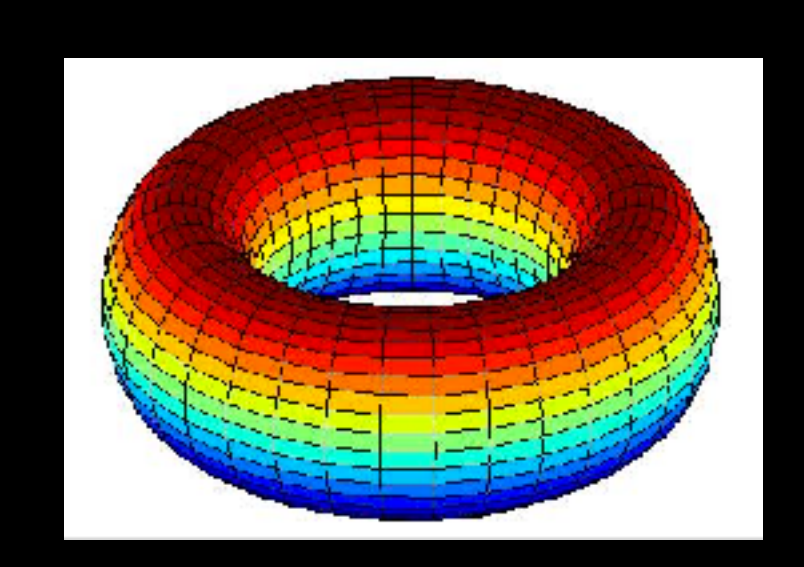


- O que significa uma "geometria" do espaço-tempo?
- O que determina essa geometria?
- Como podemos fazer medidas que testam essa teoria?

Visão "global" das geometrias <u>plana (curvatura nula)</u>, <u>fechada (curvatura positiva</u>) e <u>aberta (curvatura negativa</u>):



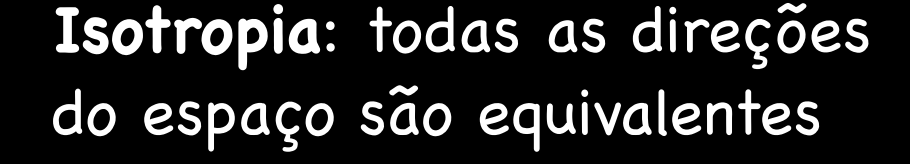
Um aspecto crucial dessas geometrias é que todos os pontos desses espaços são equivalentes. Ou seja, não há nenhuma posição privilegiada, nem nenhuma direção privilegiada. Isso não é necessariamente verdade em outras geometrias, p. ex.:



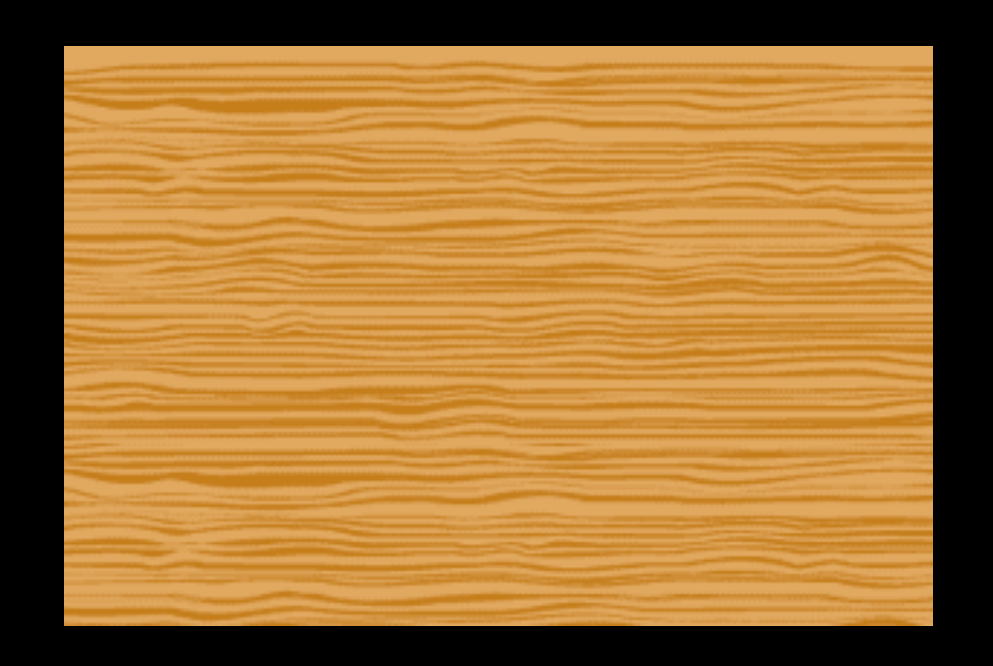
Espaços **planos** (Euclideanos), **fechados** (i.e., esféricos) e **abertos** (GLB) são as <u>únicas</u> variedades que satisfazem um princípio simples: elas são <u>homogêneas</u> e <u>isotrópicas</u>.

Homogeneidade: o espaço tem as mesmas propriedades em todo lugar

Homogeneidade sem isotropia



Isotropia sem homogeneidade





Princípio cosmológico: o espaço é o mesmo em todo lugar, e em todas as direções

<sup>\*</sup> Ehlers, Gehren & Sachs (1968): se todos os observadores inerciais medirem as mesmas propriedades da **matéria** (p. ex., a radiação cósmica de fundo), então o universo é homogêneo e isotrópico.

O espaço de Lobachevski foi uma das motivações para <u>Georg B. Riemann</u>, em 1854, propor sua visão global da <u>Geometria como o estudo das variedades</u> com qualquer número de dimensões, em <u>qualquer tipo de espaço</u>.

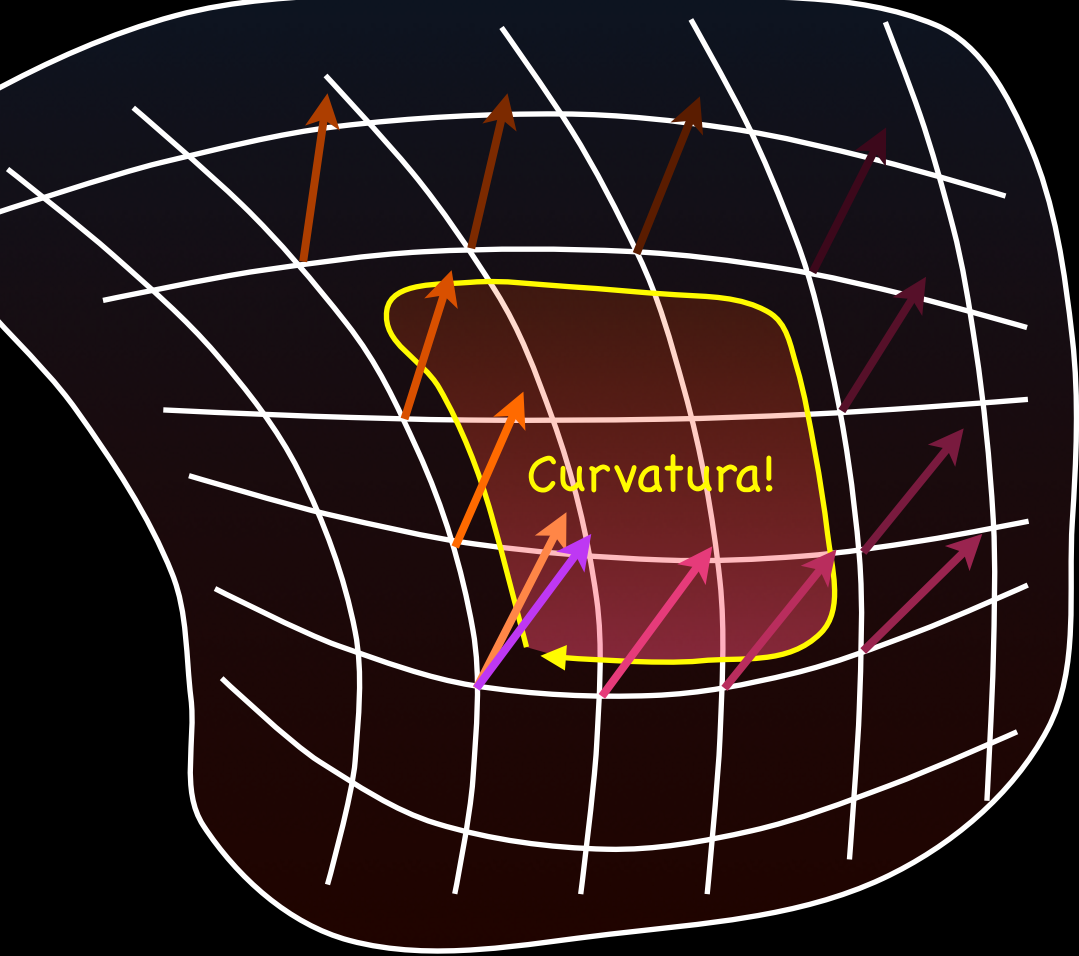


Essas geometrias são **essencialmente não-Euclideanas**: as <u>distâncias</u> entre dois pontos são dadas em termos de uma <u>métrica</u>, que é uma <u>função diferenciável qualquer</u>:

$$ds^2 = g_{\mu\nu} dx^{\mu} dx^{\nu}$$

A métrica tem um papel dual:

- i) ela serve para <u>medir a distância</u> entre dois pontos quaisquer; e
- ii) ela determina (pelas **conexões afins**) como se deve **transportar quantidades geométricas** ao longo de um caminho suave na variedade - p. ex.:



aceleração 
$$\dfrac{d\,V_{\mu}}{d\lambda}=\Gamma^{lpha}_{\,\,\mu
u}\,\dfrac{d\,x^{
u}}{d\lambda}\,V_{lpha}$$

$$\Delta V_{\mu} = \frac{1}{2} R^{\alpha}_{\beta\mu\nu} V_{\alpha} \oint dx^{\mu} x^{\nu}$$

$$\Gamma^{\alpha}_{\mu\nu} = \frac{1}{2}g^{\alpha\beta} \left( \frac{\partial g_{\beta\mu}}{\partial x^{\nu}} + \frac{\partial g_{\beta\nu}}{\partial x^{\mu}} - \frac{\partial g_{\mu\nu}}{\partial x^{\beta}} \right)$$

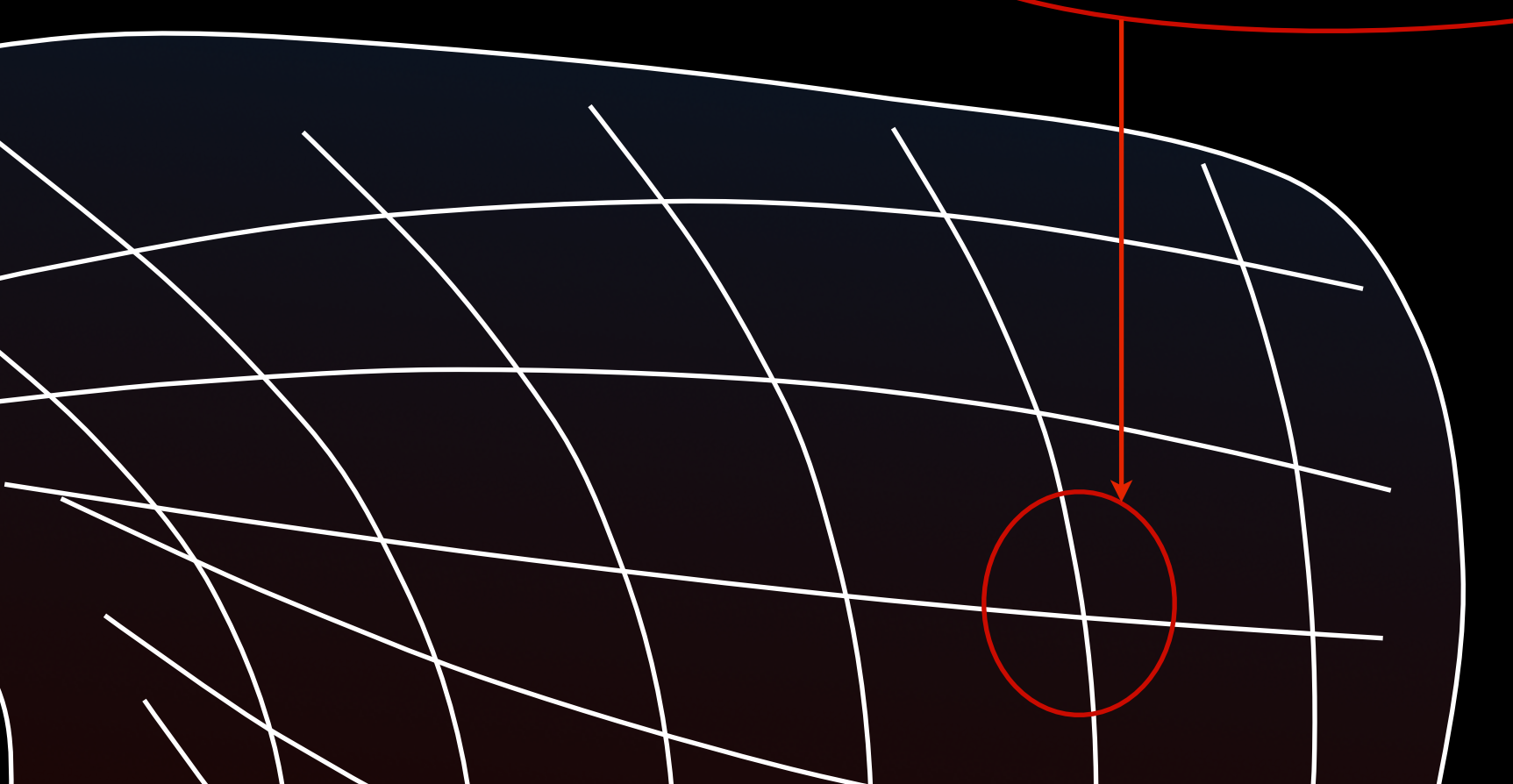
$$R^{\alpha}_{\beta\mu\nu} = \frac{\partial\Gamma^{\alpha}_{\beta\mu}}{\partial x^{\nu}} - \frac{\partial\Gamma^{\alpha}_{\beta\nu}}{\partial x^{\mu}} + \Gamma^{\alpha}_{\sigma\nu}\Gamma^{\sigma}_{\beta\mu} - \Gamma^{\alpha}_{\sigma\mu}\Gamma^{\sigma}_{\beta\nu}$$

$$\frac{DV^{\alpha}}{Dx^{\beta}} = V^{\alpha}_{;\beta} = \frac{\partial V^{\alpha}}{\partial x^{\beta}} + \Gamma^{\alpha}_{\mu\beta}V^{\mu}$$

$$\frac{D V_{\alpha}}{D x^{\beta}} = V_{\alpha;\beta} = \frac{\partial V_{\alpha}}{\partial x^{\beta}} - \Gamma^{\mu}_{\alpha\beta} V_{\mu}$$

A liberdade de escolha das coordenadas implica que, em qualquer ponto, podemos sempre usar o Elevador de Einstein, ir para um sistema no qual é métrica é, localmente, aquela de Minkowski, e assim fazer com que as conexões se anulem:

$$g_{\mu\nu} \to \eta_{\mu\nu} \ , \ \Gamma^{\alpha}_{\mu\nu} \to 0$$



Entretanto, se o espaço é curvo, as derivadas das conexões não podem também se anular...

$$\partial_{\beta} \Gamma^{\alpha}_{\mu\nu} \neq 0$$
 !

Portanto, nunca podemos "anular" a curvatura!

Agora, suponha que nos é dado um espaço com uma determinada métrica.

O que define um referencial em "queda livre" (inercial) em algum lugar desse espaço?

→ A aceleração em trajetórias que passam por aquele lugar deve se anular:

$$\frac{D^2 X^\alpha}{D \lambda^2} = 0 \qquad \Rightarrow \frac{d^2 X^\alpha}{d \, \lambda^2} + \Gamma^\alpha_{\mu\nu} \frac{d \, X^\mu}{d \, \lambda} \frac{d \, X^\nu}{d \, \lambda} = 0$$
 Equação da geodésica

Note que a equação da geodésica determina tanto as coordenadas espaciais e temporais do observador inercial

"Tempo próprio" é o  $X^0 = \tau$  ao longo da geodésica!

$$\frac{d^2x^{\alpha}}{d\tau^2} + \Gamma^{\alpha}_{\mu\nu} \frac{dx^{\mu}}{d\tau} \frac{dx^{\nu}}{d\tau} \approx \frac{d^2x^{\alpha}}{d\tau^2} + \Gamma^{\alpha}_{00} \frac{dt}{d\tau} \frac{dt}{d\tau} = 0$$

$$\begin{array}{lll} & \text{Limite Newtoniano} \\ & \text{Pequenas velocidades...} & \frac{d^2x^\alpha}{d\tau^2} + \Gamma^\alpha_{\mu\nu}\frac{dx^\mu}{d\tau}\frac{dx^\nu}{d\tau} \approx \frac{d^2x^\alpha}{d\tau^2} + \Gamma^\alpha_{00}\frac{dt}{d\tau}\frac{dt}{d\tau} = 0 \\ & \text{Métrica estática, quase} \\ & \text{Minkowski...} & \Gamma^\alpha_{\mu\nu} \to \Gamma^i_{00} = -\frac{1}{2}\nabla^i g_{00} \\ & & \\ & \frac{d^2x^i}{d\tau^2} = \frac{1}{2}\nabla^i g_{00} \left(1\right)^2 \\ & & \\ & \frac{d^2x^0}{d\tau^2} = 0 \end{array}$$

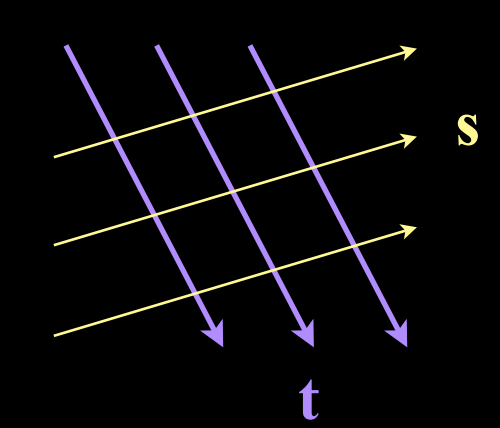
### Problema #1

Seja u uma curva geodésica. Mostre que:  $u^{\mu} u_{\nu;\mu} = 0$ 

### Problema #2

Seja u(t,s) uma família de geodésicas, e v(t,s) o vetor de desvio para essa família:

$$u^{\mu} = \frac{dX^{\mu}(t,s)}{dt} \quad , \quad v^{\mu} = \frac{dX^{\mu}(t,s)}{ds}$$



Isso implica que: 
$$[u,v]^\mu = u^\nu v^\mu_{\;;\nu} - v^\nu u^\mu_{\;;\nu} = 0$$

Use isso para calcular a aceleração de  $\overline{v}$  no tempo t:

$$\frac{D^2 v^{\mu}}{D t^2} = u^{\alpha} D_{\alpha} (u^{\beta} D_{\beta} v^{\mu})$$

e derive a equação do desvio geodésico.

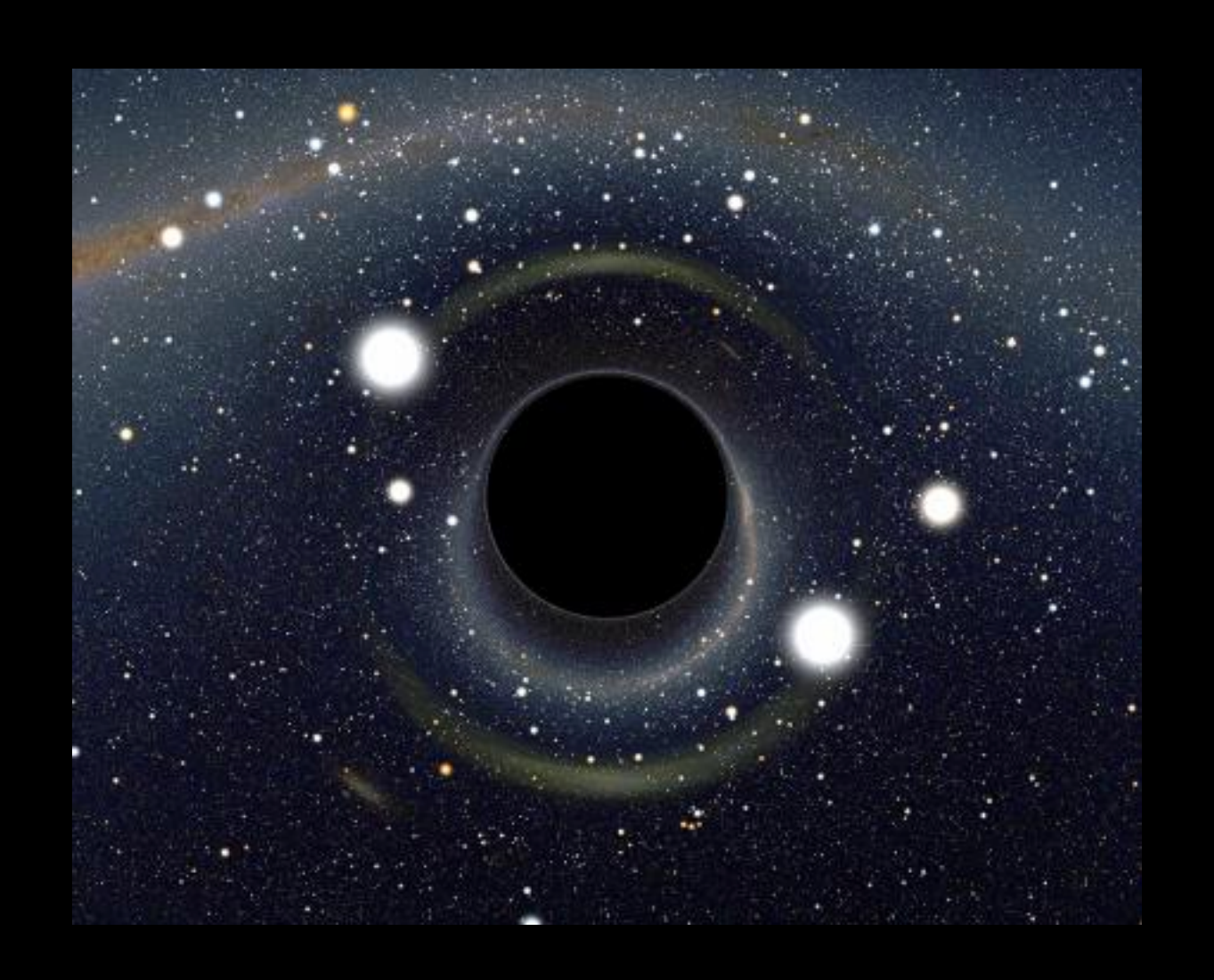
(N.B.: aqui t é apenas um parâmetro, e **não**  $x^0$ !)

### Problema #3

Tome uma geodésica tipo-tempo,  $U^{\mu}\,U_{\mu}$  = -1 , num espaço-tempo de métrica  $g_{\mu\nu}$  .

Mostre que  $h_{\mu\nu}=g_{\mu\nu}+U_{\mu}\,U_{\nu}$  é a métrica genuína das **hipersuperfícies do tipo-espaço**, definidas por essa geodésica – e que  $h_{\mu\nu}$  é um **operador de projeção** nesse sub-espaço.

### Buracos negros



Leitura adicional sugerida (divulgação científica):

Kip S. Thorne, "Black holes and time warps: Einstein's outrageous legacy" Isaac Asimov, "O colapso do universo"

### Buracos negros

Segundo Newton, a aceleração da gravidade da Terra é:  $g_1 = \frac{GM}{r_1^2} \simeq 10~m/s^2$ 

$$g_1 = \frac{GM}{r_1^2} \simeq 10 \ m/s^2$$

É mais interessante calcular o potencial:

$$\phi_1 = \frac{GM}{r_1} \simeq (8, 2 \times 10^3 \ m/s)^2$$

Agora imagine que toda a massa da Terra fosse compactada no tamanho de uma bolinha de gude.

Aí o potencial gravitacional na vizinhança da bolinha seria:

$$\phi_2 \simeq \left(2.8 \times 10^8 \ m/s\right)^2$$





### Buracos negros

Na Relatividade Geral, uma massa M "pontual" gera uma **métrica** do espaço-tempo conhecida como Métrica de Schwarzschild (1916):



$$ds^{2} = -\left(1 - \frac{2GM}{rc^{2}}\right)c^{2}dt^{2} + \left(1 - \frac{2GM}{rc^{2}}\right)^{-1}dr^{2} + r^{2}d\Omega^{2}$$

c=1 (unidades "naturais")

$$ds^{2} = -\left(1 - \frac{2GM}{r}\right)dt^{2} + \left(1 - \frac{2GM}{r}\right)^{-1}dr^{2} + r^{2}d\Omega^{2}$$

O que acontece quando temos uma grande massa concentrada em um volume muito pequeno, menor que o Raio de Schwarzschild?  $R_s = rac{2\,G\,M}{c^2} 
ightarrow 2\,G\,M$ 

$$R_s = \frac{2GM}{c^2} \to 2GM$$

Vamos primeiro examinar o que acontece com o **cone de luz futuro** no espaço-tempo de Schwarzschild.

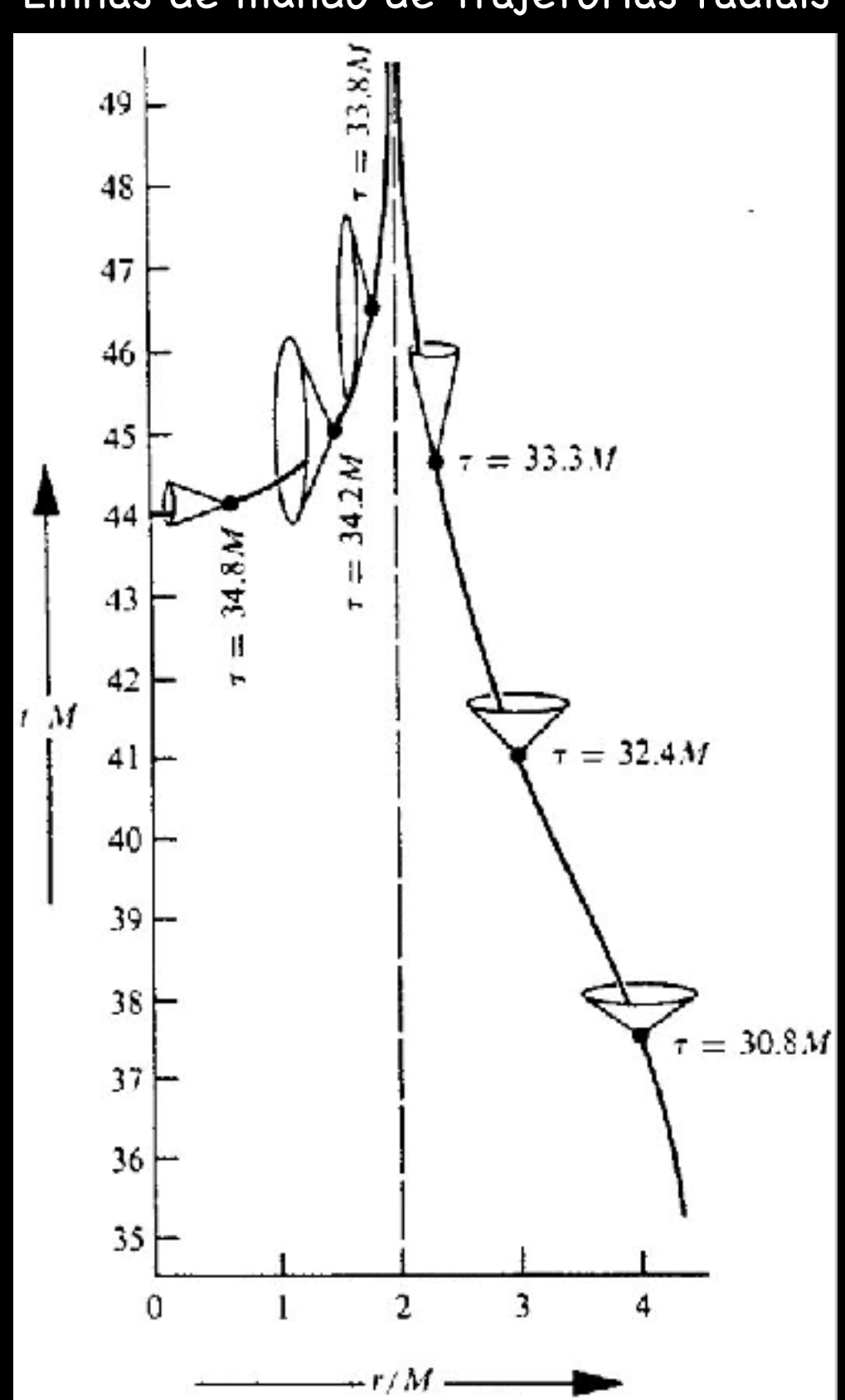
Fora do Raio de Schwarzschild, temos a situação usual: o cone de luz futuro aponta para... o futuro! (Ou seja, na direção de t crescendo.)

Porém, <u>dentro</u> do Raio de Schwarzschild o cone de luz futuro aponta na direção radial! Ou seja, o futuro de qualquer partícula, de qualquer corpo material, não importa as suas "particularidades", aponta para o ponto r=0 (onde está a massa M).

Em outras palavras: uma vez dentro do buraco negro, não há saída — nem para a luz!

No ponto r=0 a curvatura do espaço-tempo é infinita, e temos o que é conhecido como **singularidade**.

Linhas de mundo de trajetórias radiais

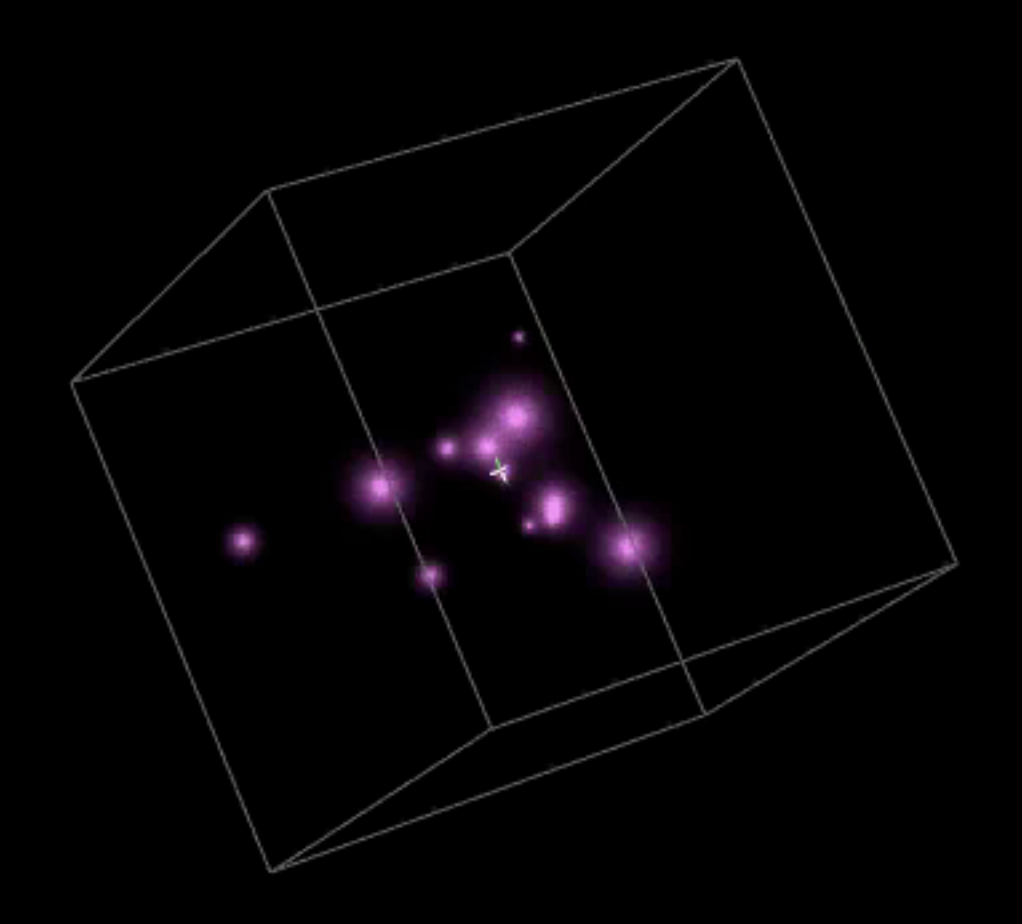


### Buracos negros existem - e eles estão mais próximos do que você imagina!!!

 $M \simeq 4.1 \times 10^6 M_{\odot}$ 

Year: 1995.0

The Acceleration of Stars Orbiting the Milky Way's Central Black Hole



Data: Andrea Ghez, Jessica I.u (UCLA)

Visualization: Dinoj Surendran, Randy Landsberg,

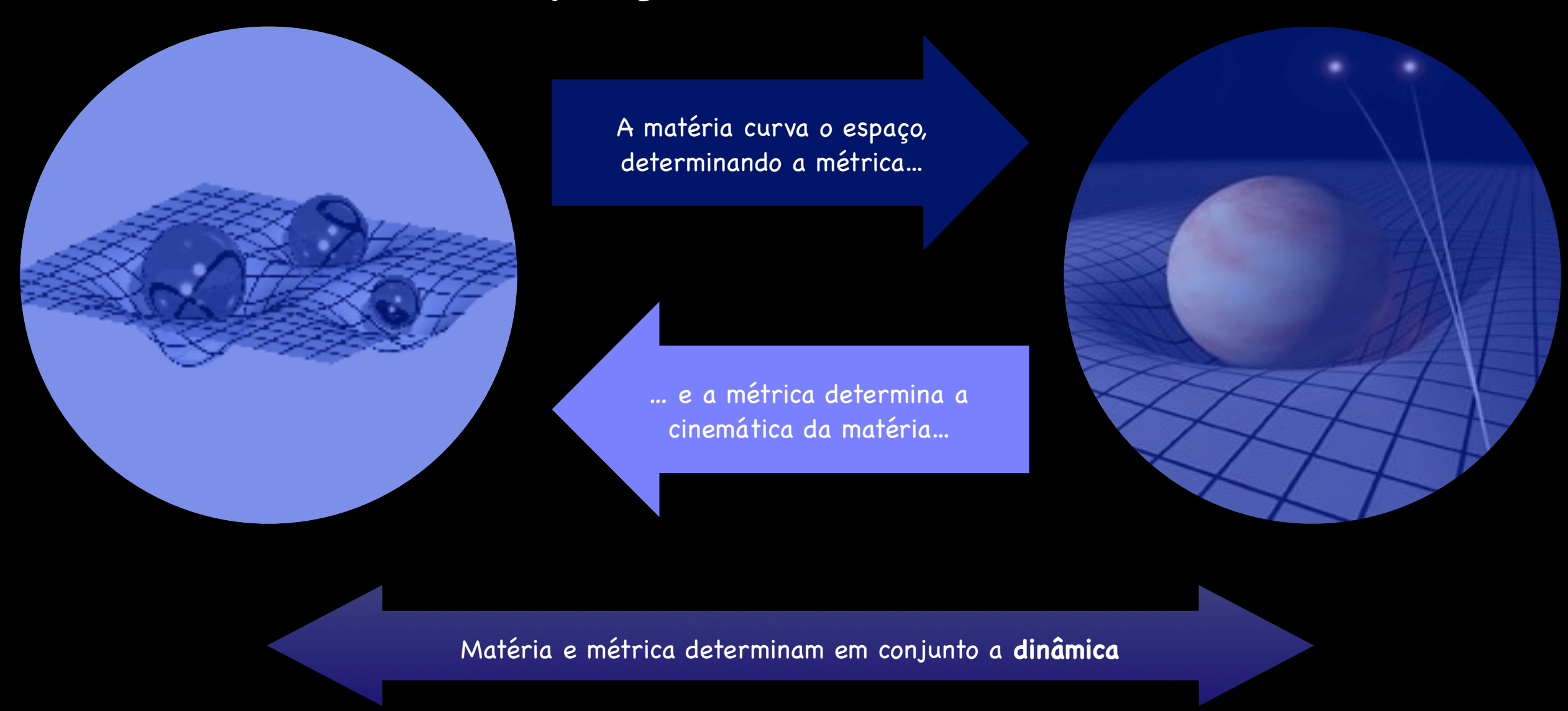


Mark SubbaRao (UChicago / Adler / KICP)

# Relatividade Geral (continuação)

Obs: entrega da 1a Lista de Exercícios adiada para 2a-feira, dia 27/8

### Equações de Einstein



Matéria e gravidade têm que funcionar dentro de uma dinâmica consistente

➡ Simetrias básicas implicam em leis de conservação (Teorema de Noether)

### Simetrias e leis de conservação

Invariância sob translações/reparametrizações do **tempo** → Conservação de **energia**Invariância sob translações/reparametrizações do **espaço** → Conservação de **momento**Invariância sob **rotações** → Conservação de **momento angular** 

Mas e quanto aos **boosts** (rotações t-x)? Eles também são simetrias... Além disso, elas misturam energia e momento!  $P^\mu=mU^\mu$  ,  $P'^\mu=\frac{\partial x'^\mu}{\partial x^\alpha}\,P^\alpha$ 

Conservação de momento para partículas pontuais (não-relativ.):

$$S = \int dt \, L(q,\dot{q}) \qquad , \qquad L(q,\dot{q}) = \frac{1}{2}\dot{q}^2 - V(q) \qquad \qquad \dot{q} \rightarrow \dot{q} + \ddot{q}\delta t + \dot{q}\delta \dot{t}$$

 $t \rightarrow t + \delta t$ 

$$\delta S = \int dt \left[ \frac{\partial L}{\partial q} \delta q + \frac{\partial L}{\partial \dot{q}} \delta \dot{q} \right] = \int dt \left[ \dot{q} (\ddot{q} \, \delta t + \dot{q} \, \delta \dot{t}) - \frac{dV}{dq} \dot{q} \, \delta t \right]$$

$$\delta S_i^f = \left[ \dot{q}^2 \delta t \right]_i^f - \int_i^f dt \, \frac{d}{dt} \left[ \frac{1}{2} \dot{q}^2 + V(q) \right] \, \delta t = 0$$

Energia = "carga" conservada  $t \rightarrow t + \delta t$  : simetria "global"

### Simetria de gauge (local) das teorias covariantes: transformações de coordenadas

$$x^{\mu} \to x'^{\mu} = x^{\mu} + \xi^{\mu}$$

Sob uma transformação de coordenadas, a métrica muda como:

$$g^{\mu\nu} \to g'^{\mu\nu} = \frac{\partial x'^{\mu}}{\partial x^{\alpha}} \frac{\partial x'^{\nu}}{\partial x^{\beta}} g^{\alpha\beta} = g^{\mu\nu} + \xi^{\mu;\nu} + \xi^{\nu;\mu} + \mathcal{O}(\xi^{2})$$
$$\delta g^{\mu\nu}$$

Em particular, se a **métrica é invariante** sob uma tal transformação, então  $\xi$  é um **vetor de Killing** (uma direção associada com alguma simetria).

### Problema #5

Tome o espaço 3-dimensional de curvatura constante (GLB) em coordenadas esféricas:

$$d\Sigma_3^2 = \frac{dr^2}{1 - kr^2} + r^2 d\Omega^2$$

Quantos vetores de Killing existem nesse espaço? Quais os seus significados?

A dinâmica da matéria deveria ser independente do sistema de coordenadas, e portanto a ação da matéria deveria ser invariante sob uma transformação de coordenadas:

$$V^{\mu}_{;\mu} = \frac{1}{\sqrt{-g}} \,\partial_{\mu} \left( \sqrt{-g} \, V^{\mu} \right)$$

$$\Rightarrow \int_{\mathcal{V}} d^4 x \, \sqrt{-g} \, V^{\mu}_{;\mu} = \left( \sqrt{-g} \, V^{\mu} \mathcal{N}_{\mu} \right)_{\mathcal{N}_{\mu}:\mathcal{S}(\mathcal{V})}$$

$$S_m = \int d^4x \sqrt{-g} \, \mathcal{L}_m$$

É OK assumir que isso se anula. Mas por quê?...

$$\delta_{\xi} S_{m} = \int d^{4}x \left[ \frac{\partial \sqrt{-g} \mathcal{L}_{m}}{\partial g^{\mu\nu}} \delta g^{\mu\nu} + \frac{\partial \sqrt{-g} \mathcal{L}_{m}}{\partial (\partial_{\alpha} g^{\mu\nu})} \partial_{\alpha} \delta g^{\mu\nu} \right]$$

$$\delta_{\xi} S_m = \int d^4 x \, \frac{\sqrt{-g}}{2} \, T_{\mu\nu} (\xi^{\mu;\nu} + \xi^{\nu;\mu}) = \int d^4 x \, \sqrt{-g} \, T^{\mu\nu} \xi_{\mu;\nu}$$

$$\text{Mas como:} \quad T^{\mu\nu}\xi_{\mu;\nu} = (T^{\mu\nu}\xi_{\mu})_{;\nu} - T^{\mu\nu}_{\ ;\nu}\xi_{\mu} \\ = \frac{1}{\sqrt{-g}}\partial_{\nu}\left(\sqrt{-g}\,T^{\mu\nu}\xi_{\mu}\right) - T^{\mu\nu}_{\ ;\nu}\xi_{\mu} \\ = \frac{1}{\sqrt{-g}}\partial_{\nu}$$

$$\delta_{\xi} S_m = \int d^4 x \left[ \partial_{\nu} \left( \sqrt{-g} T^{\mu\nu} \xi_{\mu} \right) - T^{\mu\nu}_{;\nu} \xi_{\mu} \right] \to 0$$

$$T^{\mu\nu}_{;\nu} = 0$$

### $T_{\mu\nu}$ :

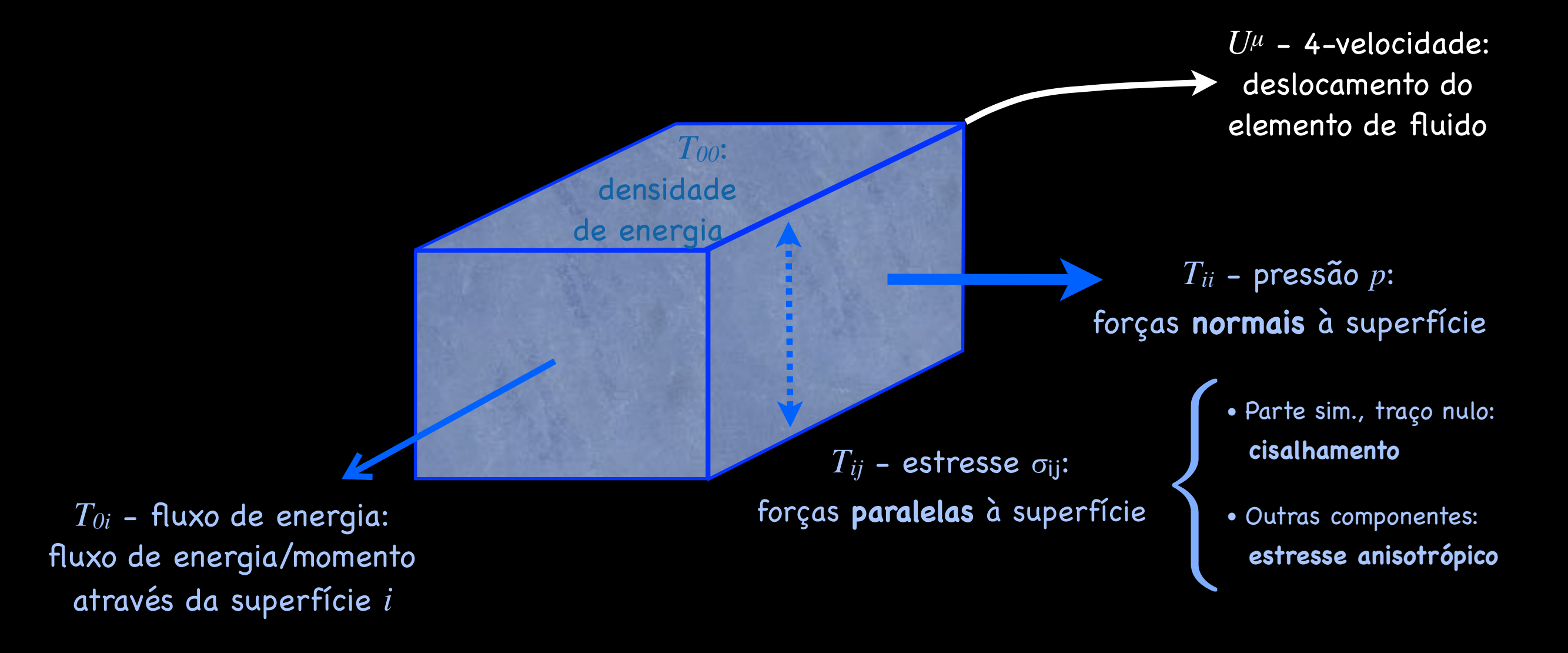
- Energia
- Momento
- Estresses/fluxos de energia

### O Tensor de Energia e Momento (TEM)

Em geral, é mais informativo construir o TEM de primeiros princípios.

Num meio contínuo, as quantidades relevantes são: a 4-velocidade, a densidade de energia, a pressão isotrópica, e o estresse de cisalhamento.

Considere um elemento de fluido:



No espaço-tempo de Minkowsky um fluido em repouso, sem nenhum estresse, fica determinado completamente em termos de sua densidade de energia e pressão:

$$T^{00} = \rho$$
  $T^{0i} = 0$   $T^{ij} = \rho \, \delta^{ij}$   $U^{\mu} = (1, 0, 0, 0)$ 

Ou, em termos da 4-velocidade:  $T^{\mu\nu}=(\rho+p)U^{\mu}U^{\nu}+p\,\eta^{\mu\nu}$ 

Para um fluido em movimento basta substituir a 4-velocidade por:

$$U^{\mu} \rightarrow \gamma(v)(1, \vec{v})$$

Nós temos então que:

$$T^{00} = \gamma^{2}(\rho + p) - p = \frac{\rho + p v^{2}}{1 - v^{2}}$$

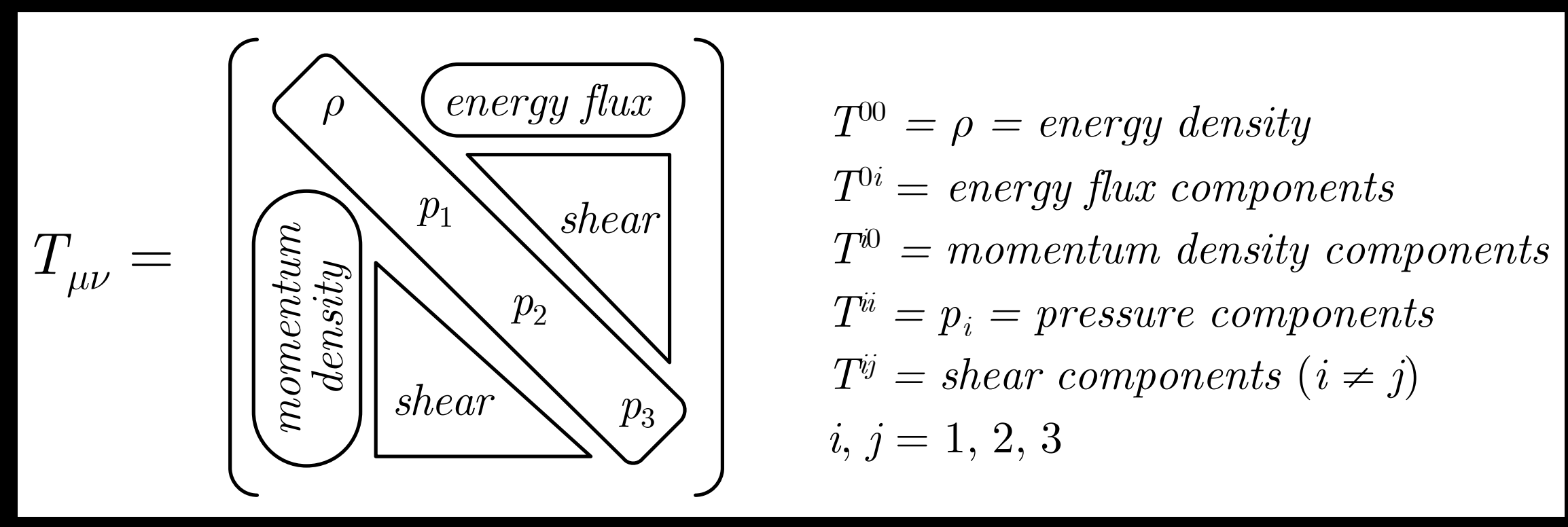
$$T^{0i} = \frac{\rho + p}{1 - v^{2}} v^{i} \qquad \Rightarrow \partial_{\mu} T^{\mu 0} = \frac{\partial}{\partial t} \frac{\rho + p v^{2}}{1 - v^{2}} + \frac{\partial}{\partial x^{i}} \frac{(\rho + p) v^{i}}{1 - v^{2}}$$

$$T^{ij} = \frac{\rho + p}{1 - v^{2}} v^{i} v^{j} + p \delta^{ij}$$

#### Em resumo:

Em qualquer formulação covariante da gravidade (na qual vale o Princípio da Equivalência), o "tensor de energia e momento" é quem determina todas as propriedades da matéria.

Esse objeto é um tensor simétrico, o que significa, por exemplo, que a densidade de momento é idêntica ao fluxo de energia



J. Bain

No limite não-relativístico [i.e., jogamos fora termos O(v²)], a conservação do TEM resulta na famosa equação da continuidade:

$$\partial_{\mu} T^{\mu 0} = \frac{\partial}{\partial t} \frac{\rho + p v^{2}}{1 - v^{2}} + \frac{\partial}{\partial x^{i}} \frac{(\rho + p) v^{i}}{1 - v^{2}}$$
$$\simeq \dot{\rho} + \vec{\nabla} [(\rho + p) \vec{v}] \simeq \dot{\rho} + (\rho + p) \vec{\nabla} \vec{v}$$

Isso é também equivalente à conservação de energia da Termodinâmica:

$$dE + p \, dV = 0$$

$$\Rightarrow \frac{1}{V} \frac{d(\rho V)}{dt} + p \frac{1}{V} \frac{dV}{dt} = \frac{d\rho}{dt} + (\rho + p) \frac{1}{V} \frac{dV}{dt} = 0$$

onde o volume muda de acordo com a divergência da velocidade:

$$\frac{1}{V}\frac{dV}{dt} = \vec{\nabla} \cdot \vec{v}$$

- Conservação do TEM: 

   Conservação de energia
   Equação de Euler

### Problema #6

(a) Um campo escalar tem uma Lagrangeana:

$$L = \sqrt{-g} \left[ \frac{1}{2} g^{\mu\nu} \partial_{\mu} \phi \partial_{\nu} \phi - V(\phi) \right]$$

Encontre o seu TEM. Dica: 
$$\delta(\sqrt{-g}) = \frac{1}{2}\,\sqrt{-g}\,g^{\mu\nu}\delta g_{\mu\nu} = -\frac{1}{2}\,\sqrt{-g}\,g_{\mu\nu}\delta g^{\mu\nu}$$

- (b) Encontre a Equação de Klein-Gordon (a "equação de movimento" para o campo) como resultado da conservação do TEM.
- (c) Encontre a Equação de Klein-Gordon através do princípio variacional em termos do próprio campo escalar.
- (d) Você é capaz de escrever esse TEM em termos de um "fluido",

$$T_{\mu\nu} = (\rho + p) U_{\mu} U_{\nu} + p g_{\mu\nu}$$
 ?

### Problema #7

(a) Tome como ponto de partida a Lagrangeana do Eletromagnetismo:

$$L_{EM} = \frac{1}{4} F^{\mu\nu} F_{\mu\nu} \qquad , \qquad F_{\mu\nu} = \partial_{\nu} A_{\mu} - \partial_{\mu} A_{\nu}$$

Encontre o TEM do campo eletromagnético.

- (b) Mostre que esse TEM é conservado devido às Equações de Maxwell (em espaços-tempo curvos).
- (c) Mostre que, em 4D, o EM no vácuo é "conformemente invariante", i.e., as soluções das Equações de Maxwell são invariantes sob as transformações:

$$g_{\mu\nu} \to \bar{g}_{\mu\nu} = \Omega^2 g_{\mu\nu}$$

### As Equações de Einstein, finalmente!

A conservação do TEM deve ter uma contrapartida do lado da métrica do espaço-tempo. De fato, a ação de Einstein-Hilbert satisfaz esse vínculo, e temos que:

$$S = \int d^4x \sqrt{-g} \left[ \frac{R}{16\pi G} + L_m \right] \longrightarrow \left[ G_{\mu\nu} = R_{\mu\nu} - \frac{1}{2} g_{\mu\nu} R = -8\pi G T_{\mu\nu} \right]$$

Devido ao **Princípio Cosmológico**, em primeira aproximação os lados direito e esquerdo dessa equação devem ser **funções do tempo, apenas.** 

Os únicos parâmetros livres dessa teoria são constantes no espaço e no tempo:

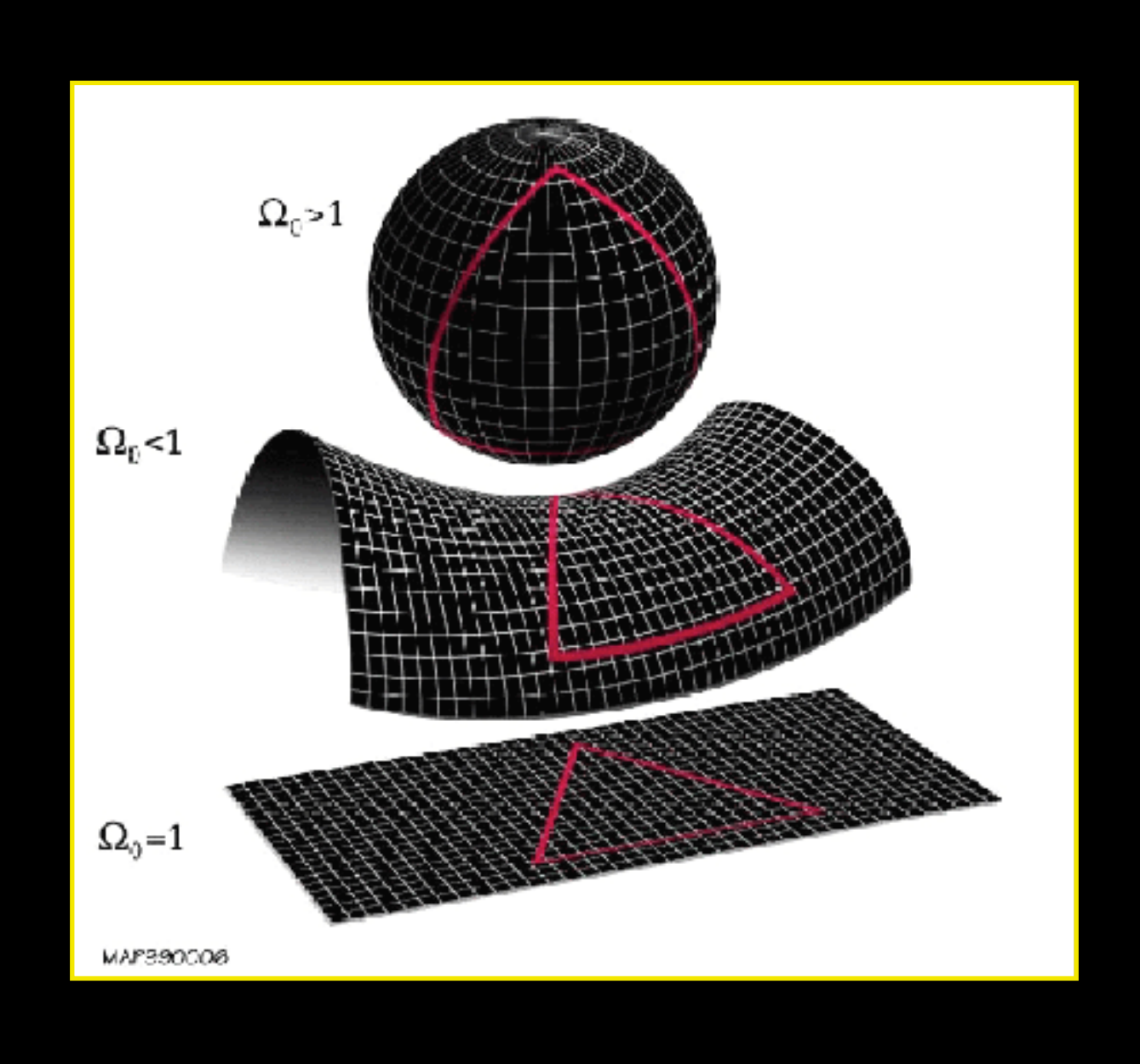
#### Métrica:

Curvatura espacial Constante Cosmológica (1)

#### Matéria:

Massas Constantes de acoplamento

# A cinemática do universo: as equações de Friedmann



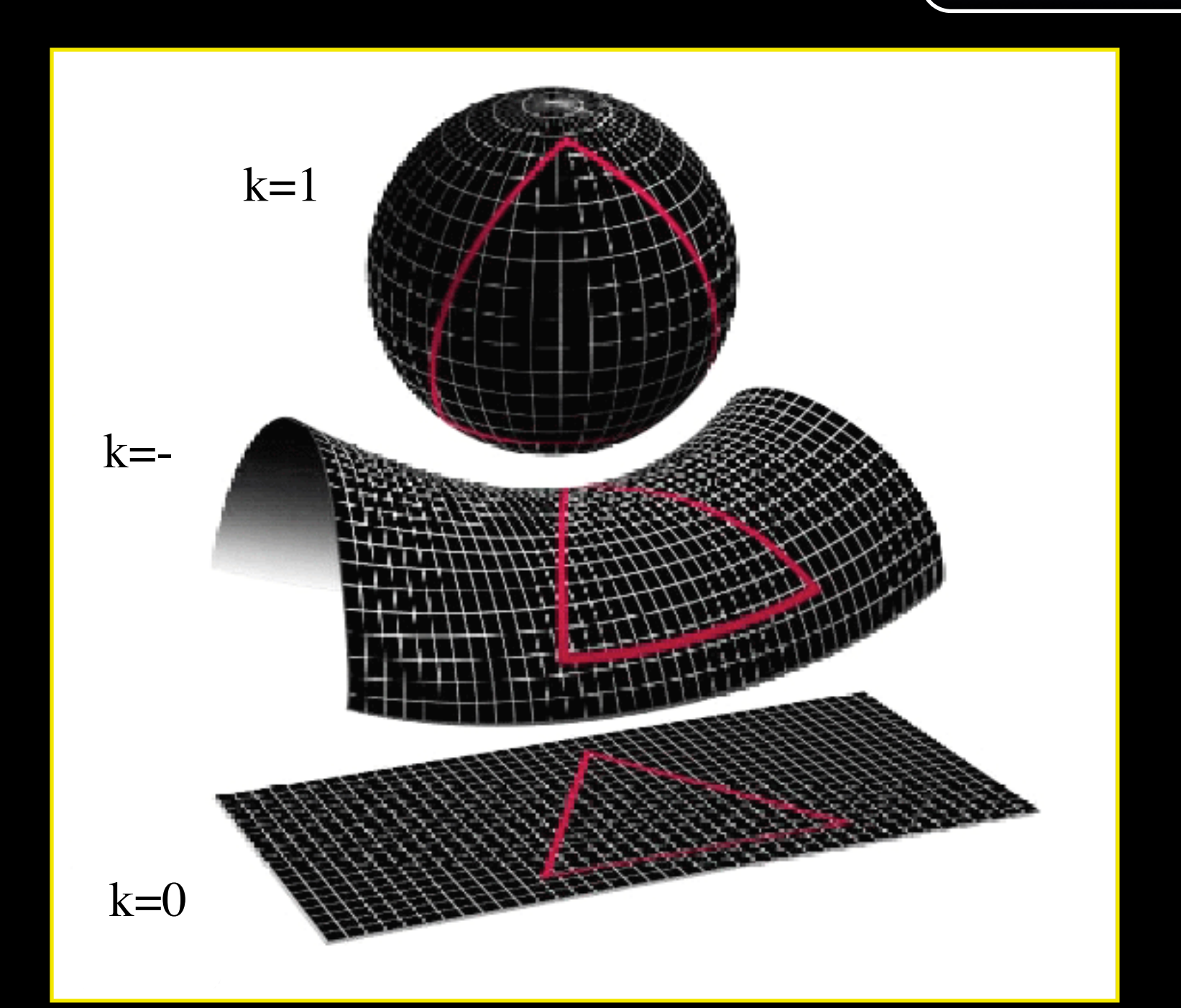
### A métrica de FLRW

A. Friedmann (1922-24), G. Lemaitre (1927), H. P. Robertson (1935-36), A. G. Walker(1937)

Seções espaciais de curvatura constante:  $ds^2 = -dt^2 + a^2(t) d\Sigma^2$ 

$$ds^2 = -dt^2 + a^2(t) d\Sigma^2$$

Def.:  $a(t_0)=1$ 



$$d\Sigma^2 = \frac{dr^2}{1 - r^2} + r^2 d\Omega^2$$

$$(r/R_0)^2$$

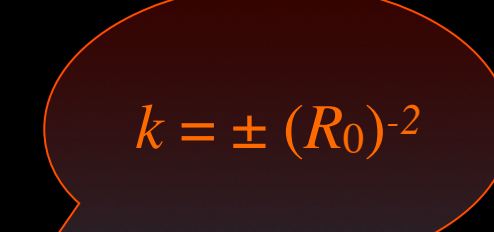
$$d\Sigma^{2} = \frac{dr^{2}}{1 + r^{2}} + r^{2}d\Omega^{2}$$

$$(r/R_{0})^{2}$$

$$d\Sigma^2 = dr^2 + r^2 d\Omega^2$$

Alguns sistemas de coordenadas populares usados para expressar as seções espaciais de FLRW:

$$d\Sigma^2 = \frac{dr^2}{1 - kr^2} + r^2 d\Omega^2$$



### Coordenadas hiper-esféricas:

$$r = \frac{1}{\sqrt{k}} \sin\left(\sqrt{k}\,\chi\right) \quad \Rightarrow \quad d\Sigma^2 = d\chi^2 + \frac{1}{k} \sin^2\left(\sqrt{k}\,\chi\right) d\Omega^2$$

#### Coordenadas conformes-Cartesianas:

$$r = \frac{R}{1 + \frac{k}{4}R^2} \quad \Rightarrow \quad d\Sigma^2 = \frac{dR^2 + R^2d\Omega^2}{(1 + \frac{k}{4}R^2)^2}$$

A escolha mais comum é a segunda, já que em coordenadas hiper-esféricas as geodésicas radiais são triviais.

### Problema #8

Mostre que a métrica das seções espaciais (3D) dos espaços-tempo FLRW em coordenadas conformes-Cartesianas,

$$d\Sigma^2 = \gamma_{ij} \, dx^i \, dx^j \quad , \quad \gamma_{ij} = \delta_{ij} \, \left( 1 + \frac{1}{4} \, k \, \vec{x}^2 \, \right)^{-2}$$

possui um tensor de Riemann dado por:

$$R_{ijkl} = k \left( \gamma_{il} \gamma_{jk} - \gamma_{ik} \gamma_{jl} \right)$$

### Problema #9

O volume 3D é definido como:

$$V = \int d^3x \sqrt{\det \gamma}$$

Qual é o volume da 3-esfera? Mostre que esse resultado se reduz ao usual no limite em que a curvatura espacial (k) é muito pequena.

### Geodésicas nos espaços-tempos FLRW

Vamos tomar a métrica FLRW em coordenadas conformes-Cartesianas:

$$ds^{2} = -dt^{2} + a^{2}(t) d\Sigma^{2}$$

$$d\Sigma^{2} = \gamma_{ij} dx^{i} dx^{j} , \quad \gamma_{ij} = \delta_{ij} \left( 1 + \frac{1}{4} k \vec{x}^{2} \right)^{-2}$$

As conexões são:

$$\Gamma_{00}^0 = \Gamma_{00}^i = \Gamma_{i0}^0 = 0$$

$$\Gamma^0_{ij} = \dot{a} \, a \, \gamma_{ij} \quad , \quad \Gamma^i_{0j} = \frac{\dot{a}}{a} \, \delta^i_j$$

$$\Gamma_{ij}^{k} = \frac{k}{2} \left( \frac{1}{1 + \frac{k}{4}\vec{x}^2} \right) \times \left( \delta_{ij} x^k - \delta_{ik} x^j - \delta_{jk} x^i \right)$$

### Problema #10

Calcule o tensor de Riemann da métrica FLRW nesse sistema de coordenadas. Quantas componentes independentes tem esse tensor?

Uma partícula inicialmente em repouso nessas coordenadas tem uma 4-velocidade:

$$U_0^{\mu} = \left. \frac{dx^{\mu}}{d\tau} \right|_0 = (1, 0, 0, 0)$$

A equação da geodésica é: 
$$\frac{dU^{\mu}}{d\tau} + \Gamma^{\mu}_{\alpha\beta} U^{\alpha} U^{\beta} = 0$$

o que implica nas seguintes equações:

$$\mu = 0 \quad \to \quad \frac{dU^0}{d\tau} + \Gamma^0_{ij} U^i U^j = 0$$

$$\mu = k \quad \rightarrow \quad \frac{dU^k}{d\tau} + 2\Gamma_{0i}^k U^0 U^i + \Gamma_{ij}^k U^i U^j = 0$$

A solução para essa equações é:  $U^{\mu} = U^{\mu}_{0} = (1,0,0,0)$ 

$$U^{\mu} = U_0^{\mu} = (1, 0, 0, 0)$$

Portanto, uma partícula em repouso em qualquer lugar desse espaço-tempo permanecerá em repouso, na mesma posição!

Esse é o significado prático (cinemático) de "homogeneidade e isotropia"!

### Problema #11

Considere uma partícula se movendo com alguma velocidade initial "peculiar"  $u_0$  :

$$U_0^{\mu} = \gamma(v_0)(1, \vec{v}_0)$$

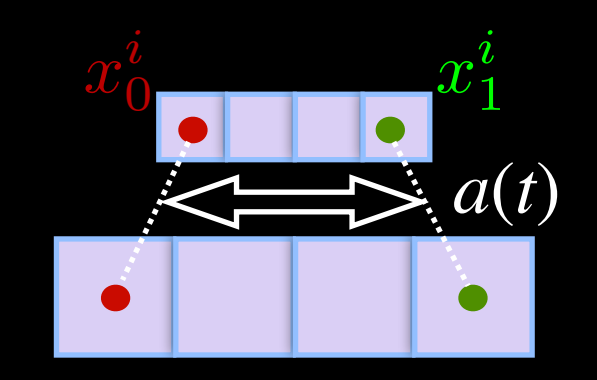
Encontre a para a equação da geodésica neste caso. Faça aproximações se for absolutamente necessário. O que acontece ao longo do tempo com essa velocidade peculiar inicial? Ela aumenta ou decai?

### A métrica de FLRW e a dinâmica do universo

Considere dois corpos em repouso, em dois locais diferentes.

A distância (tipo-espaço) entre eles é dada, numa hipersuperfície t=const., por:

$$\Delta s^2 = \Delta l^2(t) = a^2(t)(\vec{x}_0 - \vec{x}_1)^2 = a^2(t)\Delta \vec{x}^2$$
 constante!



A velocidade com a qual esses corpos "em repouso" estão se afastando é dada por:

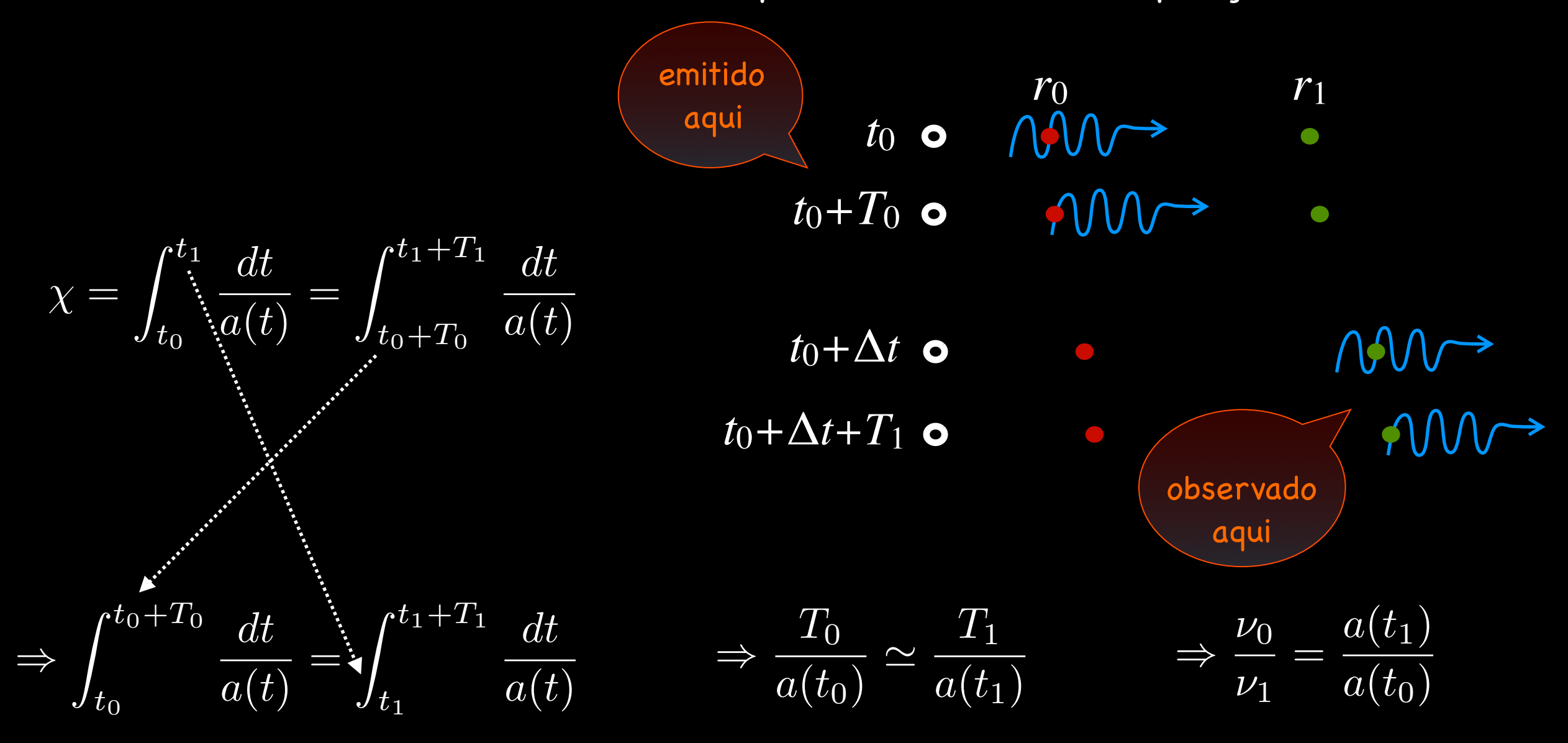
$$v=rac{d}{dt}\Delta l=rac{\dot{a}}{a}\Delta l$$
  $rac{\dot{a}}{a}\equiv H$  Parâmetro de Hubble

Considere agora um raio de luz se propagando na direção radial – e vamos usar coordenadas hiper-esféricas. Temos:

### O redshift cosmológico

Suponha que temos uma fonte de luz emitindo radiação com frequência  $v_0$  numa posição radial  $r_0$ , e num instante  $t_0$ . Um instante  $T_0$  depois,  $t_0+T_0$ , a fonte de luz estará emitindo radiação com a mesma fase (+2 $\pi$ ) que tinha em  $t_0$ .

Os raio de luz emitidos em  $t_0$  e  $t_0+T_0$  são, depois, observado numa posição  $r_1$  :



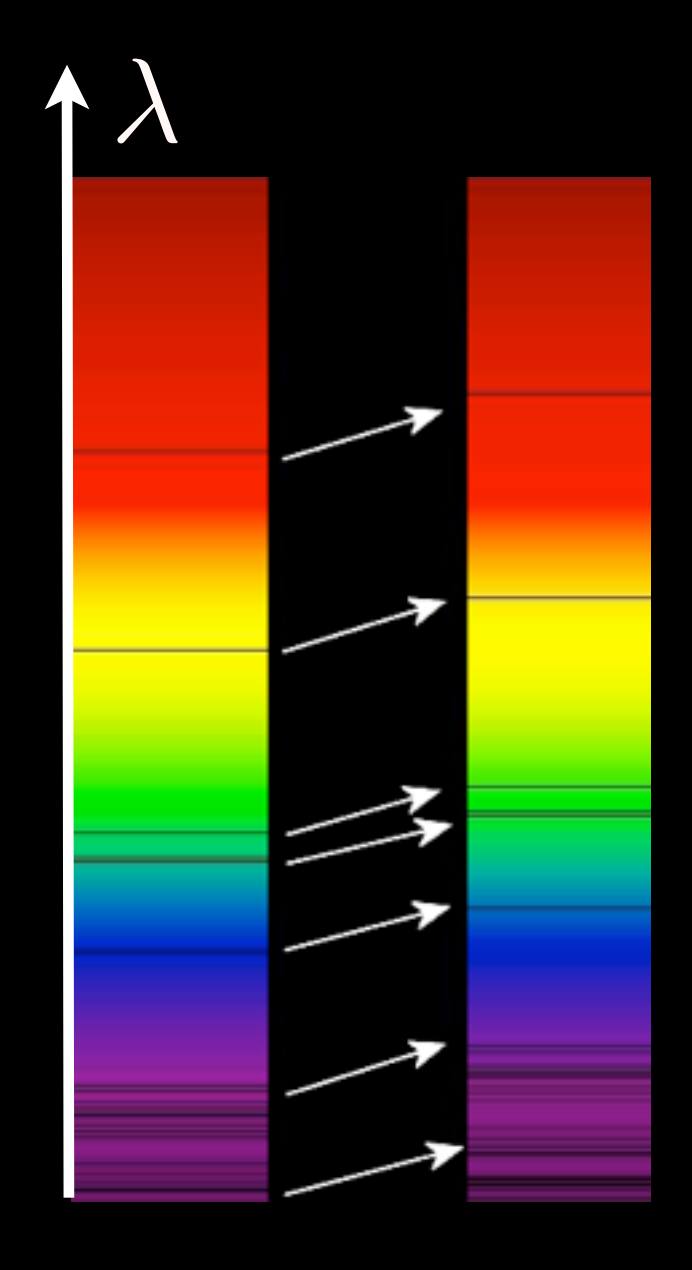
Em termos do **comprimento de onda** da luz:

$$\frac{\lambda_{\rm obs}}{\lambda_{\rm emm}} = \frac{a(t_{\rm obs})}{a(t_{\rm emm})}$$

O "redshift" (ou "blueshift") é definido como: 
$$1+z=rac{\lambda_{
m obs}}{\lambda_{
m emm}}=rac{
u_{
m emm}}{
u_{
m obs}}$$

$$\Rightarrow z = \frac{\lambda_{\text{obs}} - \lambda_{\text{emm}}}{\lambda_{\text{emm}}} = \frac{\nu_{\text{emm}} - \nu_{\text{obs}}}{\nu_{\text{obs}}}$$

Qualquer linha de emissão ou absorção pode ser usada para calcular o redshift!



Linhas de absorção do Sol

Mesmas numa galáxia distante

Tipicamente, observamos **aqui** na Terra ( $r=\chi=0$ , t=0) a luz que é emitida por **galáxias distantes** num instante t no passado.

Como, por convenção, o fator de escala hoje é  $a_0 = a(t_0) = 1$ , temos que o **redshift** dessas galáxias distantes é:

$$z = \frac{\lambda_{\text{obs}} - \lambda}{\lambda} = \frac{a_0}{a(t)} - 1 = \frac{1}{a(t)} - 1$$

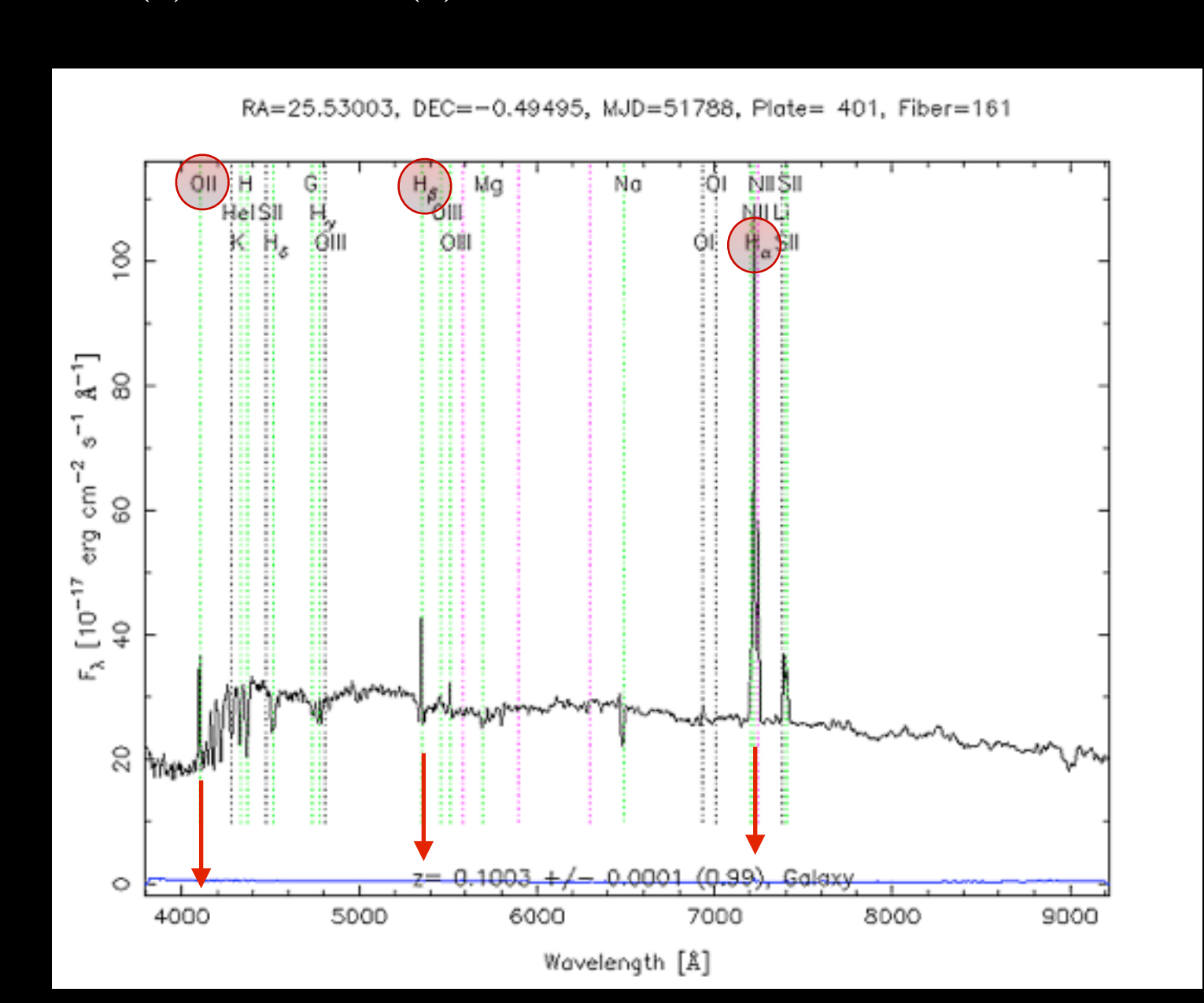
Exemplo: galáxia em z=0.1003

Em repouso, essas linhas são:

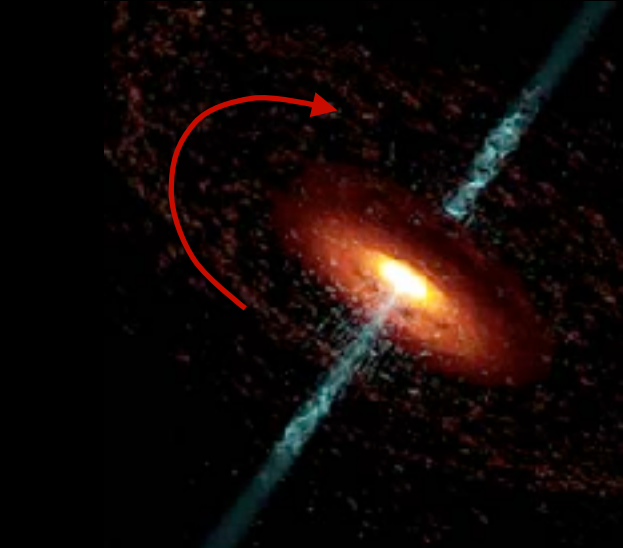
 $\mathrm{H}_{lpha} \,:\, 6563\,\mathring{A}$ 

 $H_{\beta}$ : 4861  $\mathring{A}$ 

OII: 3727 Å

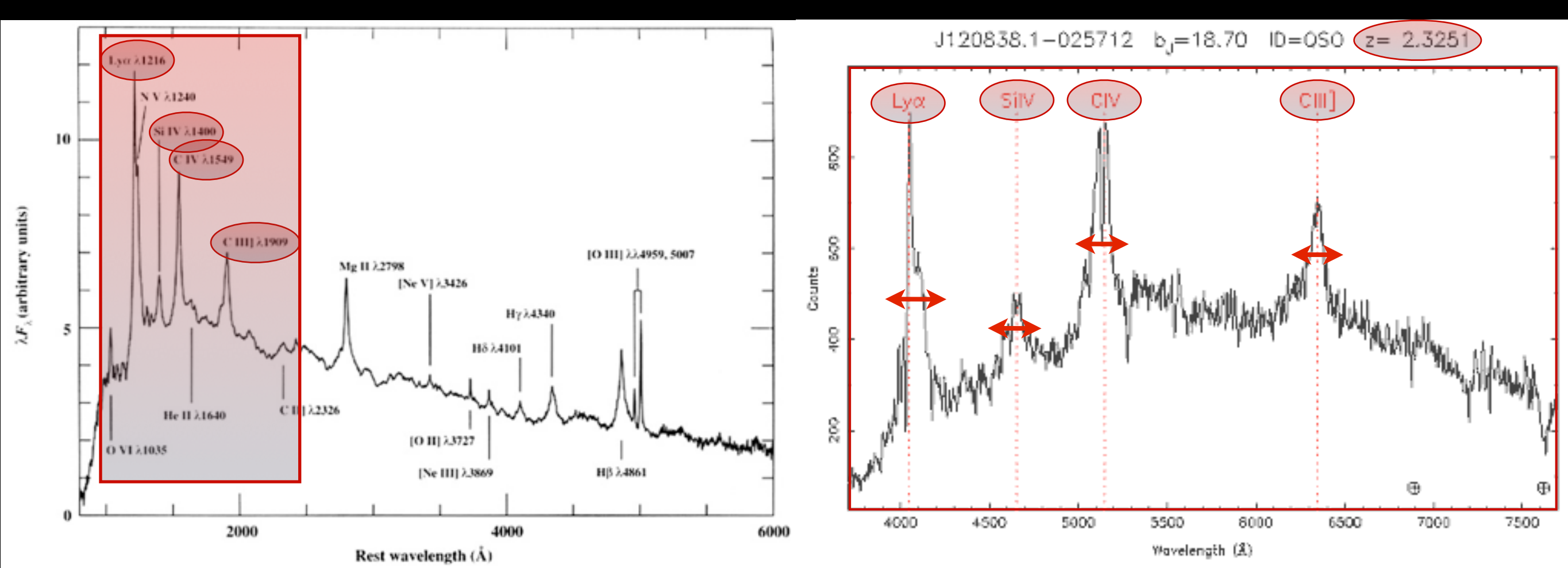


Outro exemplo: quasar ("quasi-stellar object")



Modelo (quasar típico, restframe)

Quasar verdadeiro (2dF survey)



O redshift cosmológico e o efeito Doppler se manifestam do mesmo modo!

### Uma outra derivação do redshift

T, X: coordenadas do raio de luz E, p a menos de uma const. arb. " $E_0$ "

Como a luz é uma geodésica nula, temos: 
$$l^\mu = (E = h \nu \,,\, \vec p)$$
  $E = \frac{dT}{d\tau}$  ,  $\vec p = \frac{d\vec X}{d\tau}$ 

$$E = \frac{dT}{d au}$$
 ,  $\vec{p} = \frac{d\vec{X}}{d au}$ 

com: 
$$l^{\mu}l_{\mu} = g_{\mu\nu} \, l^{\mu} \, l^{\nu} = 0 \qquad \Rightarrow E = \frac{a \, p}{1 + \frac{k}{4} X^2}$$

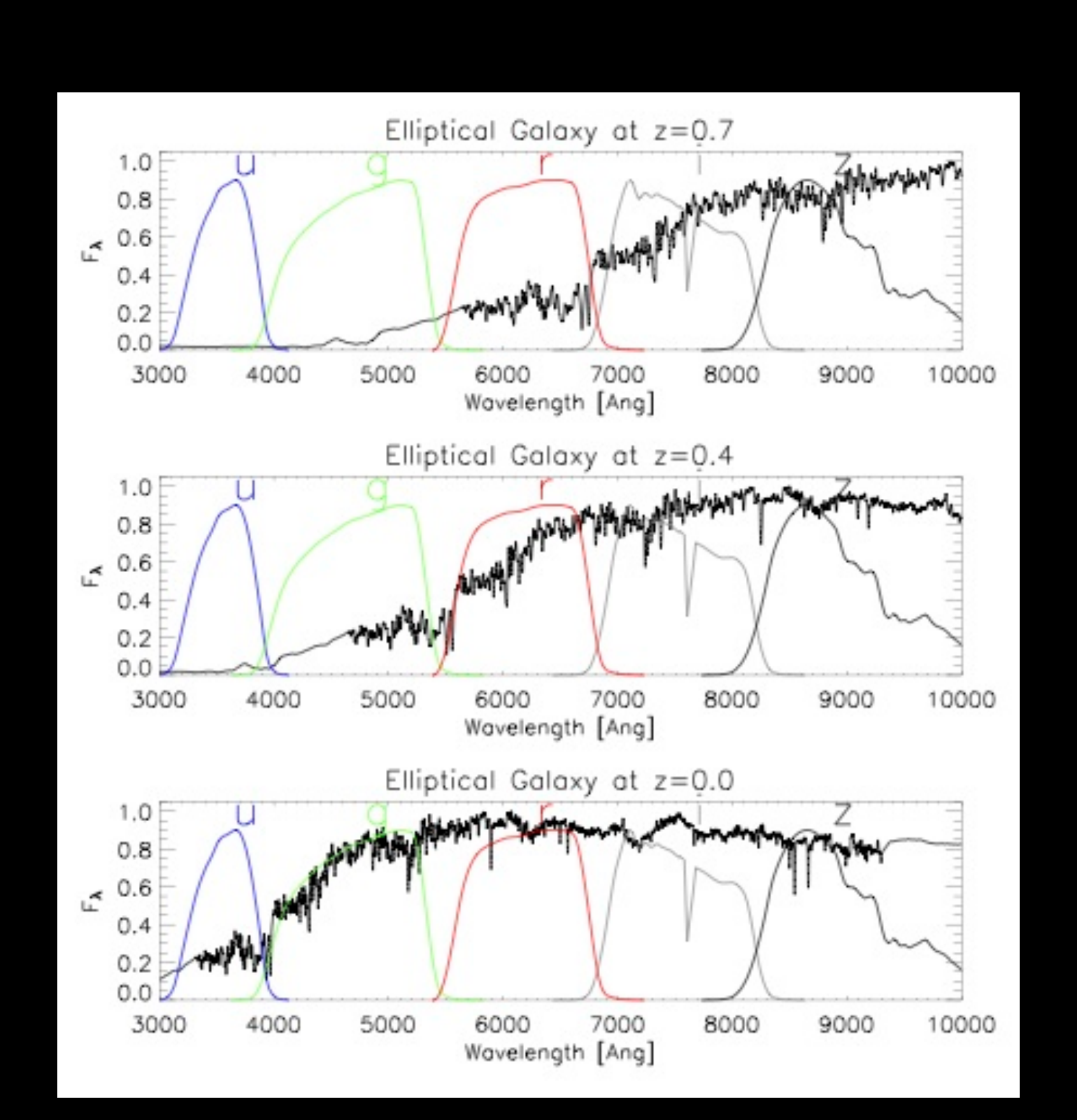
Vamos usar as coordenadas conformes-Cartesianas, e assumir que a luz se propaga na direção radial X:

$$\frac{dl^{0}}{d\tau} + \Gamma^{0}_{ij} l^{i} l^{j} = 0 \qquad \Rightarrow \qquad \frac{dE}{d\tau} + \frac{da}{dT} a \frac{1}{1 + \frac{k}{4} X^{2}} p^{2} = 0$$

$$\Rightarrow \frac{dE}{d\tau} + \frac{da}{d\tau} \frac{d\tau}{dT} a \frac{1}{1 + \frac{k}{4}X^2} p^2 = 0$$

$$\Rightarrow \frac{dE}{d\tau} + \frac{da}{d\tau} \frac{1}{E} \frac{1}{a} E^2 = 0$$

$$\Rightarrow \frac{dE}{da} + \frac{E}{a} = 0 \qquad \Rightarrow E \sim \frac{1}{a} \qquad \left[\begin{array}{c} \nu \sim \frac{1}{a} \\ \lambda \sim a \end{array}\right]$$



Linhas (Lab), Å:

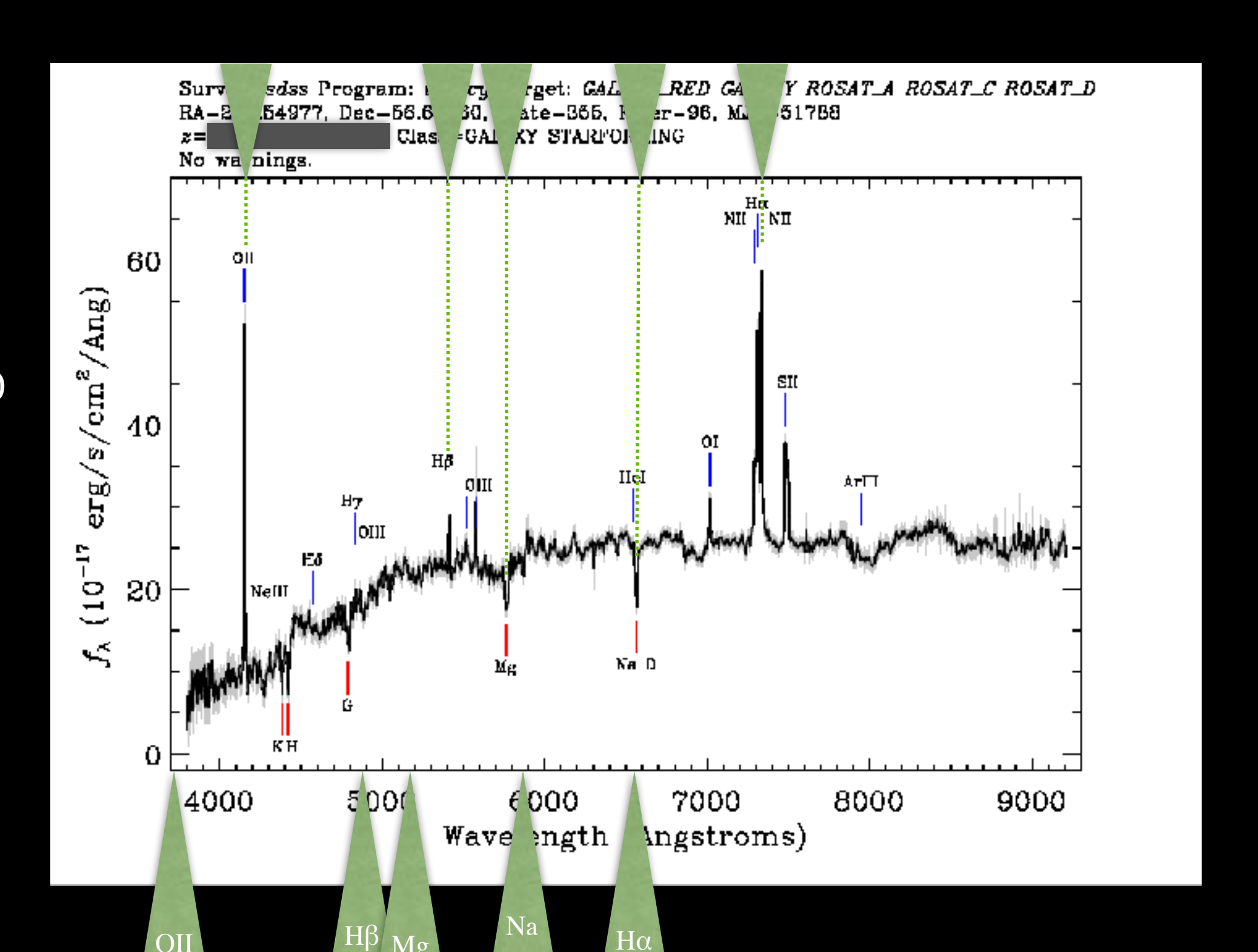
OII: 3727 / 3730

 $H\beta:4863$ 

Mg: 5177

Na: 5896

 $H\alpha : 6565$ 



Linhas (Lab), Å:

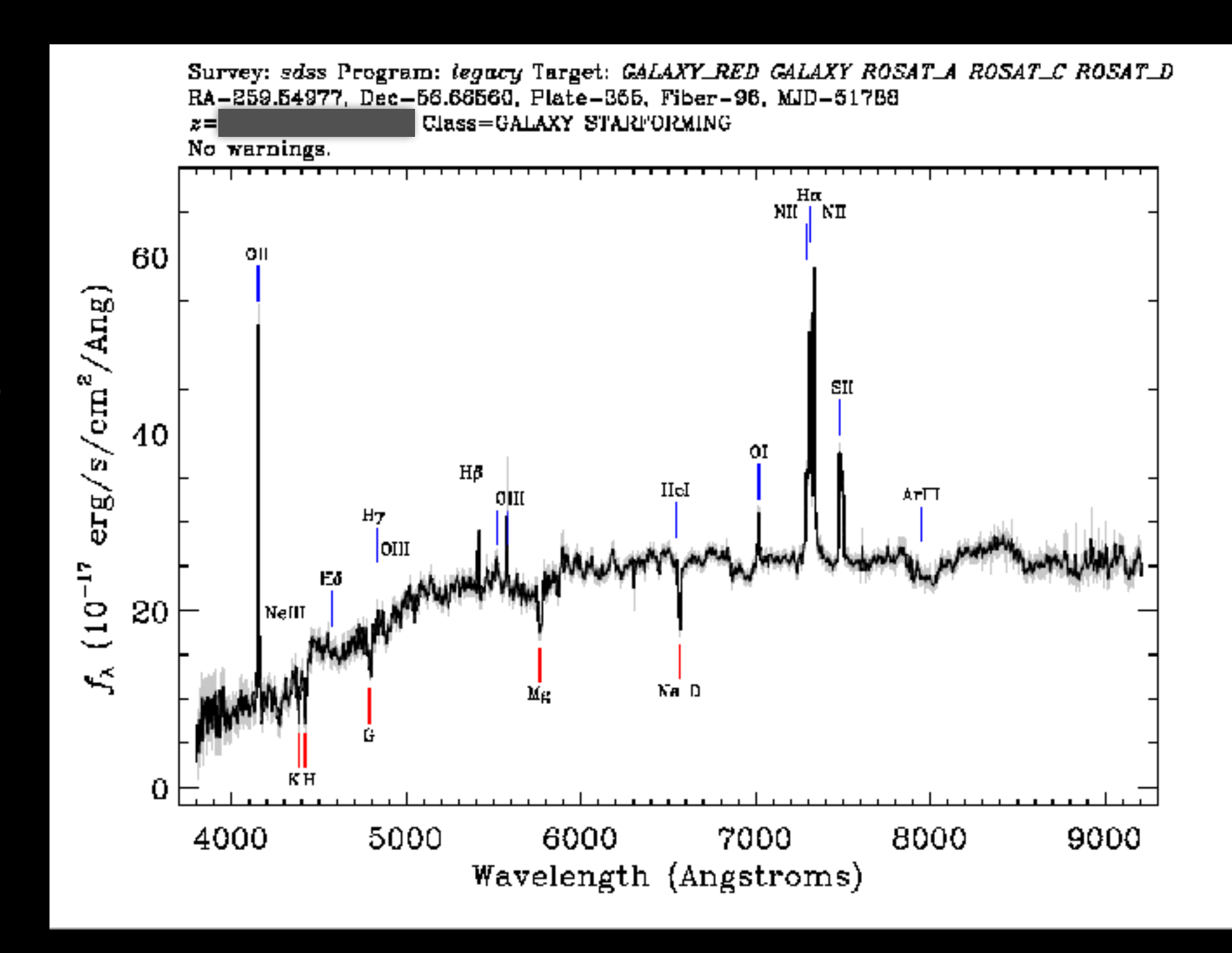
OII: 3727 / 3730

 $H\beta:4863$ 

Mg: 5177

Na: 5896

 $H\alpha : 6565$ 



### Leituras para a próxima aula:

Ryden, Cap. 3.3, 3.4 e 4.1